

1/48

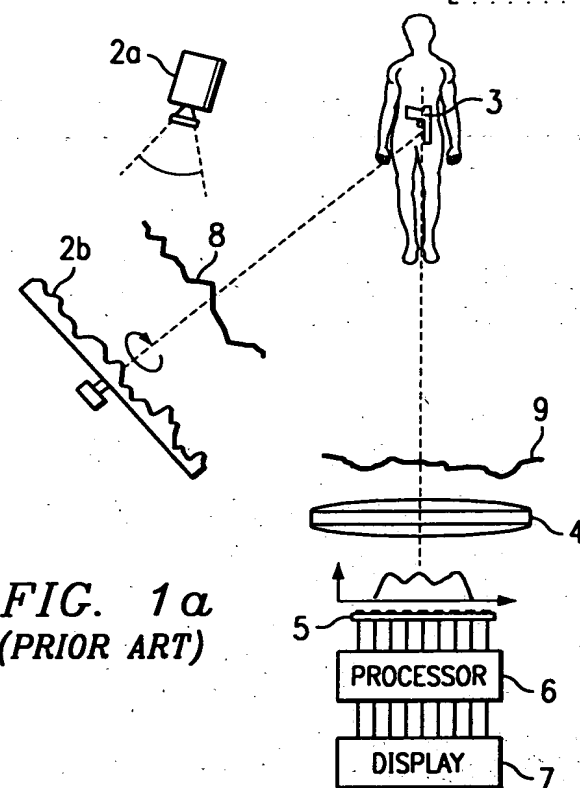


FIG. 1a
(PRIOR ART)

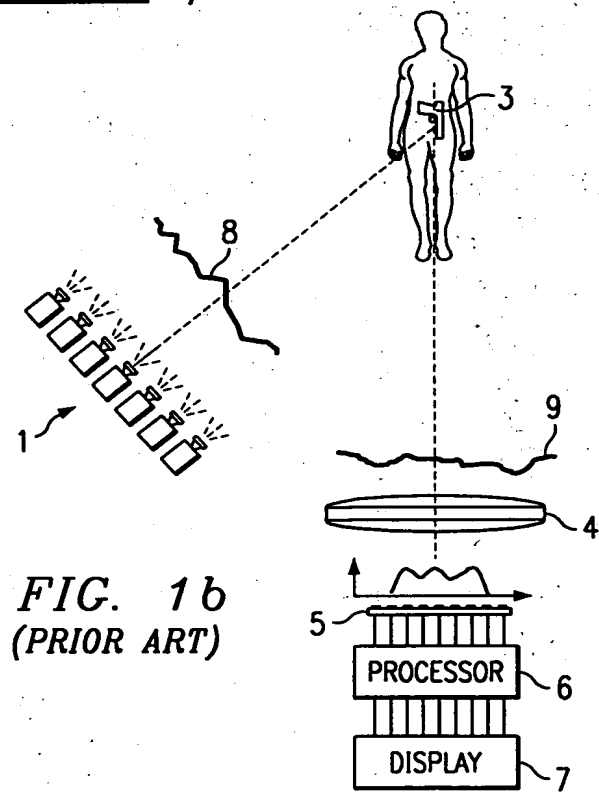
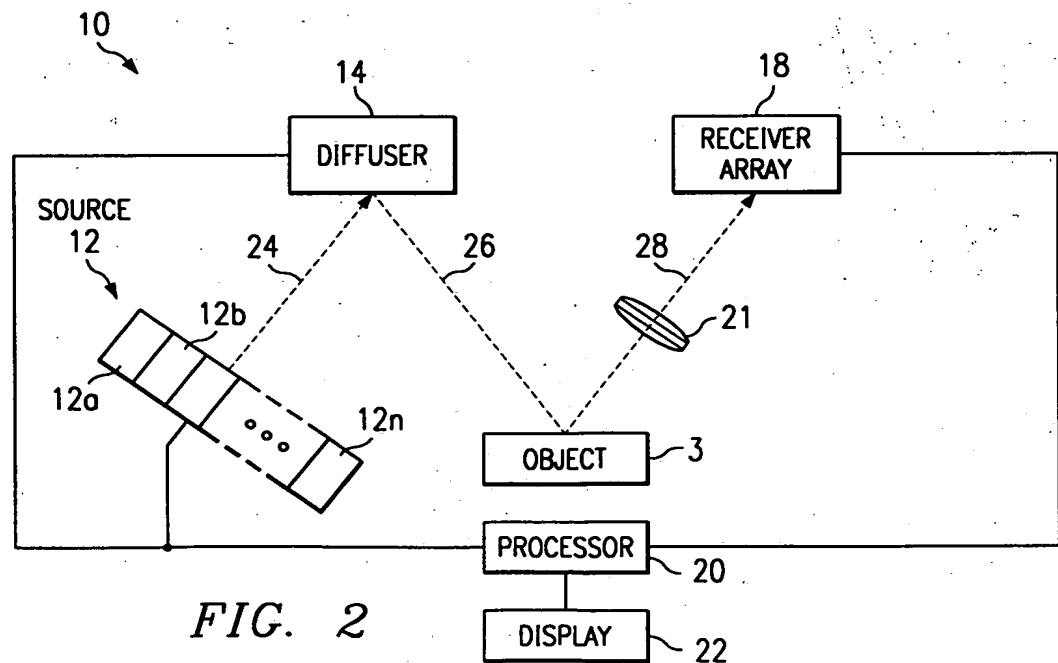
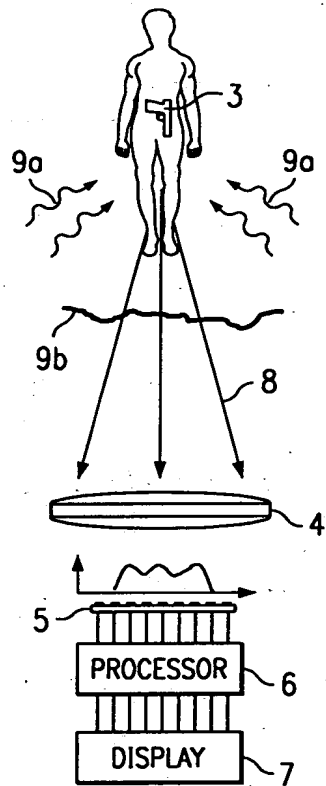


FIG. 1b
(PRIOR ART)

2/48

**FIG. 1C
(PRIOR ART)**



3/48

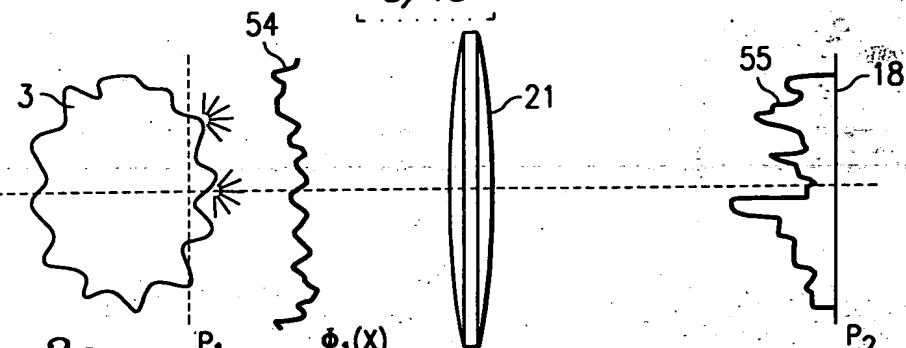


FIG. 3a

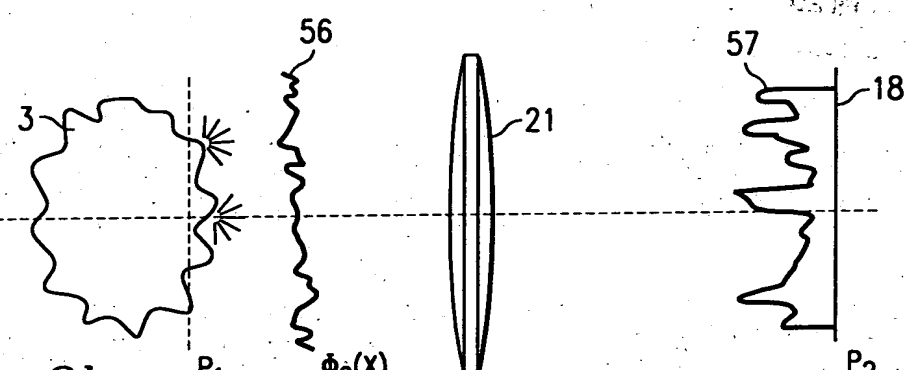


FIG. 3b

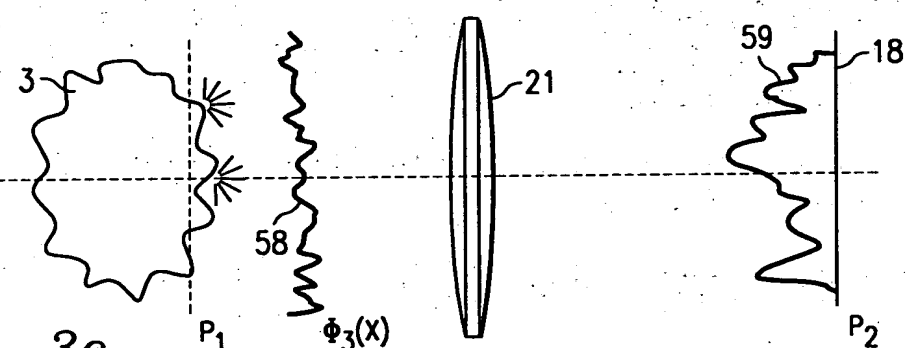


FIG. 3c

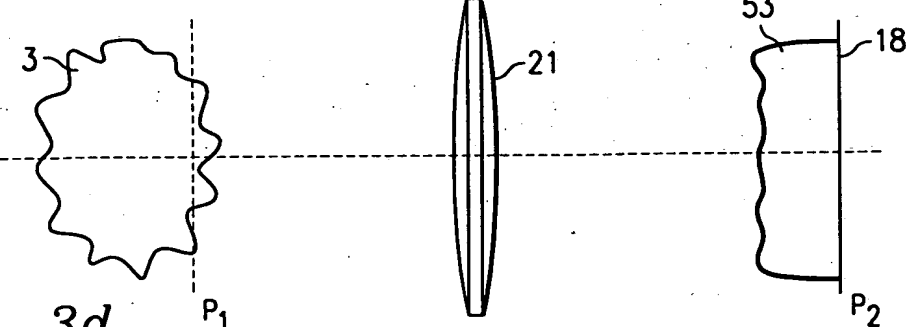
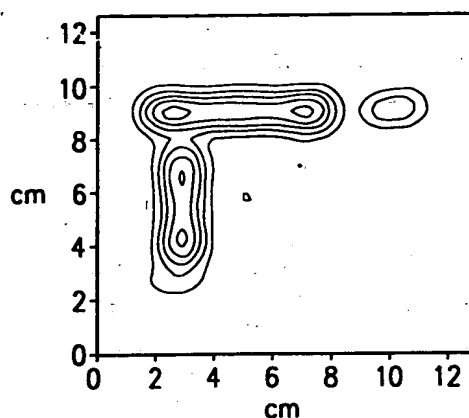


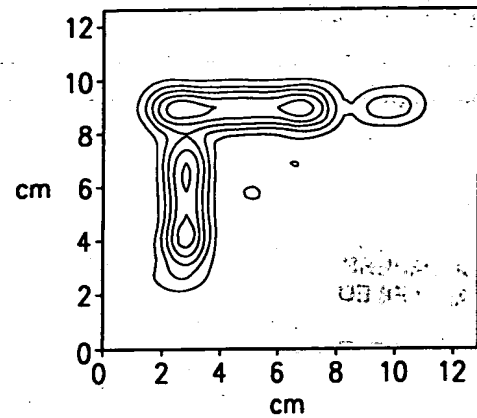
FIG. 3d

200 FIG. 4a



4/48

FIG. 4b 205



210 FIG. 4c

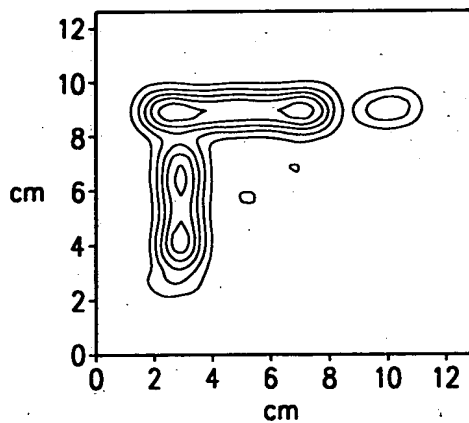
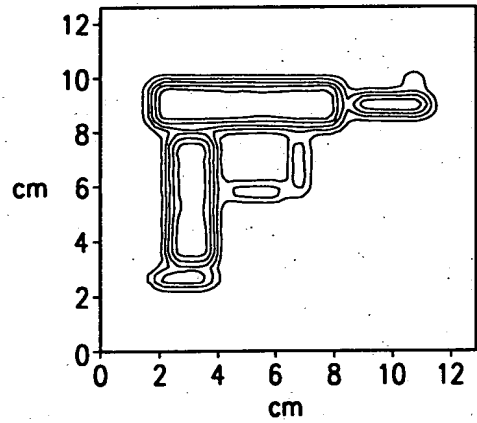


FIG. 4d 215



REFLECTION
COEFFICIENT

250

 λ

FIG. 5a

5/48

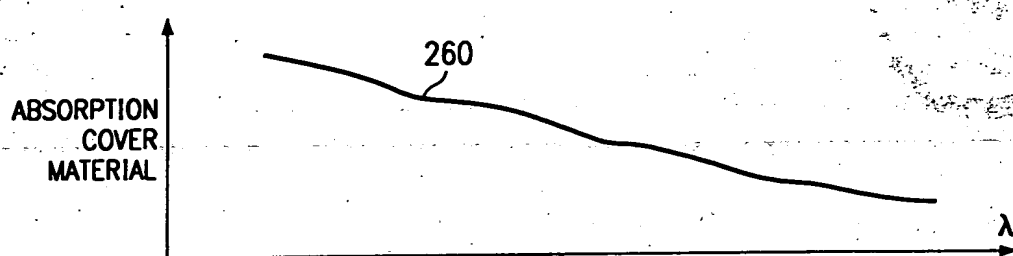


FIG. 5b

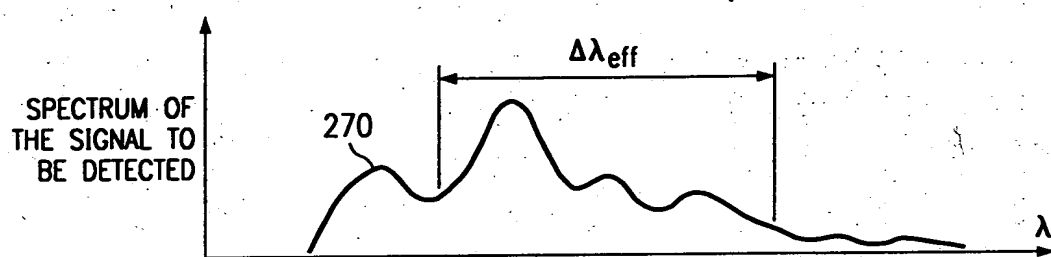


FIG. 5c

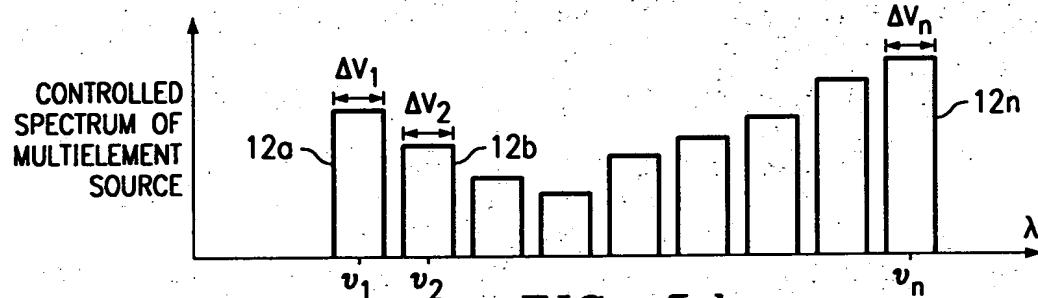


FIG. 5d

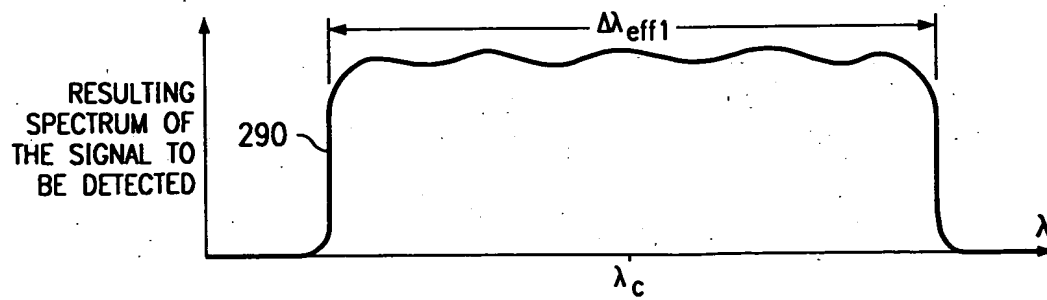


FIG. 5e

6/48

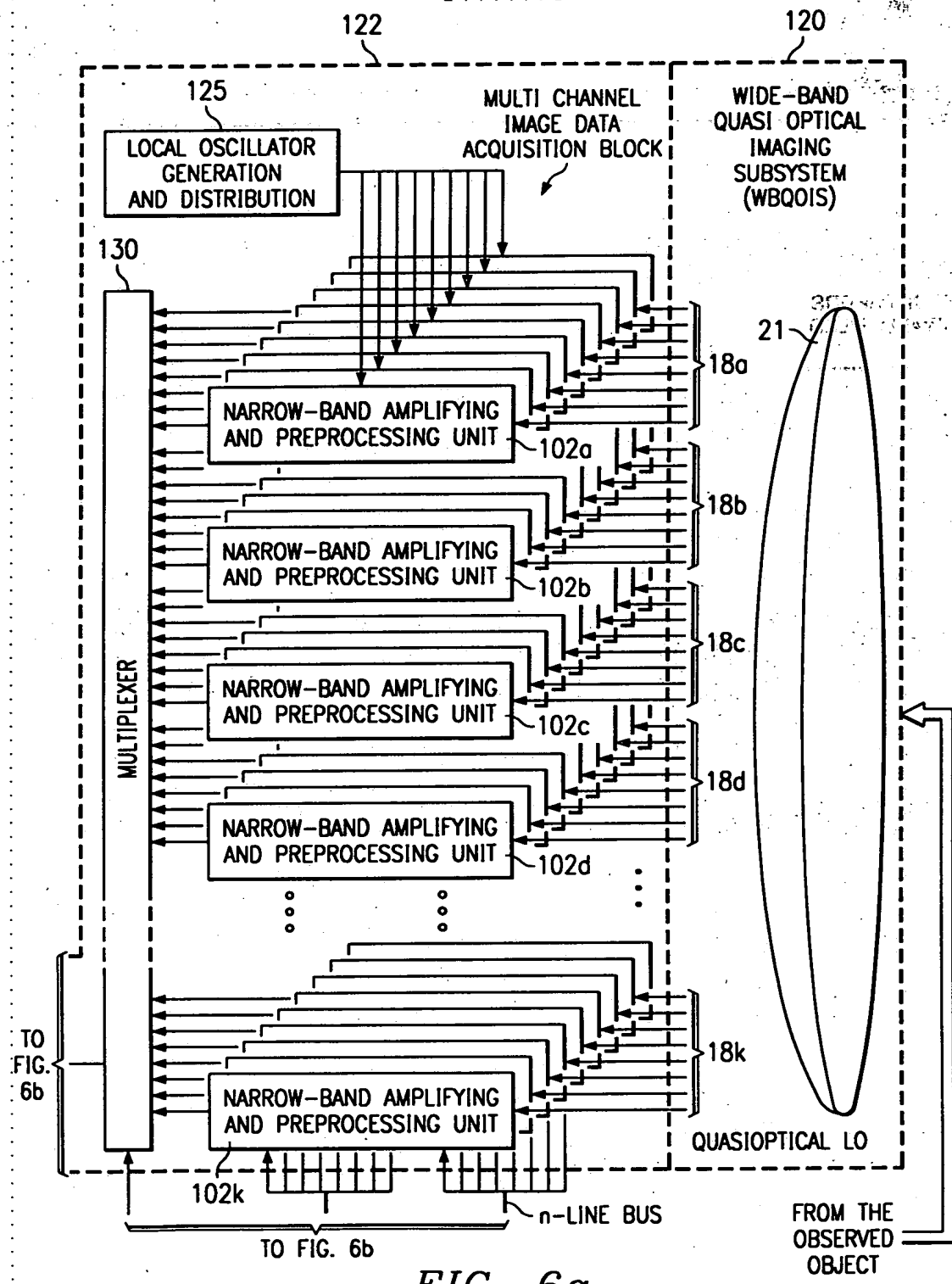
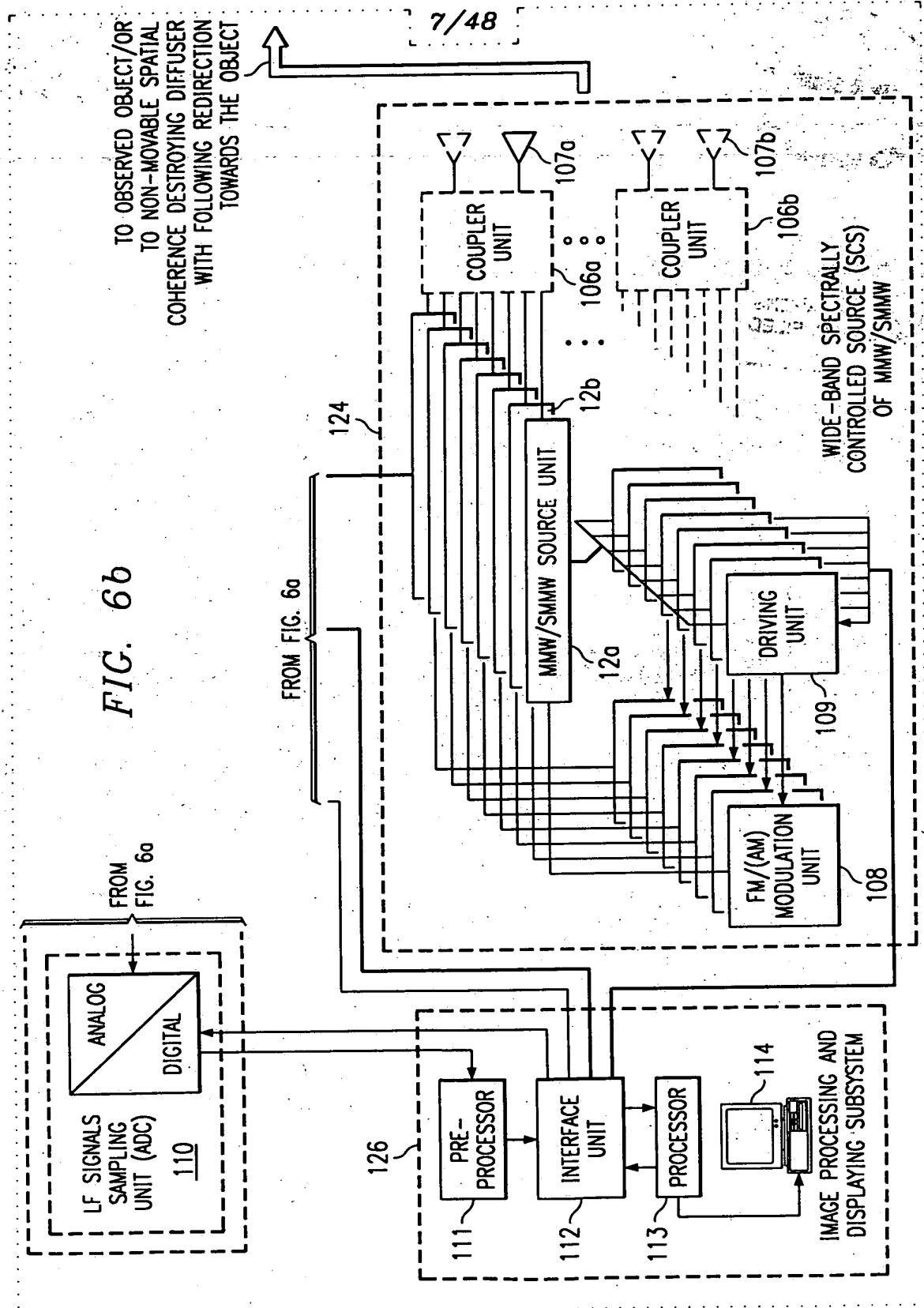


FIG. 6a



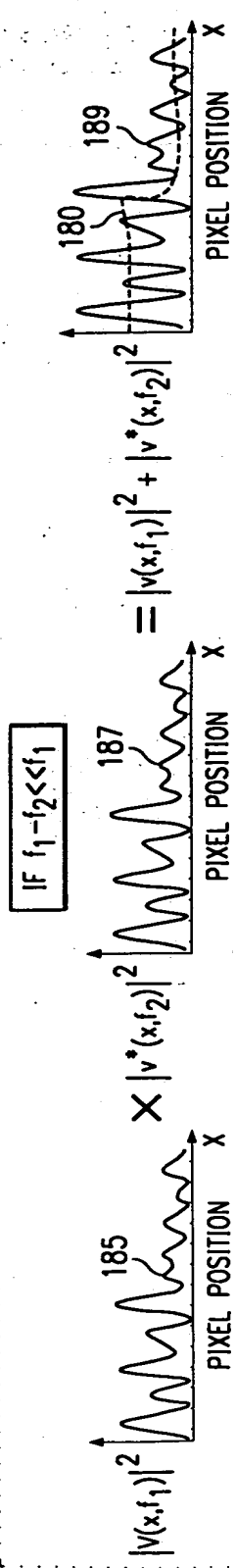


FIG. 7a

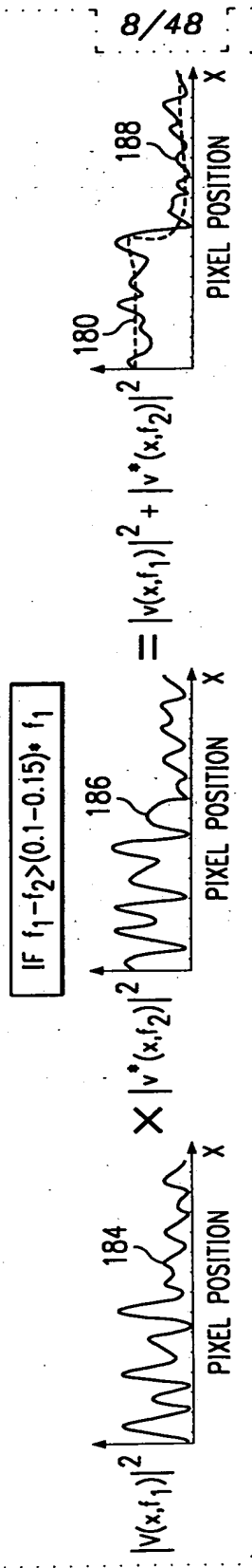


FIG. 7b

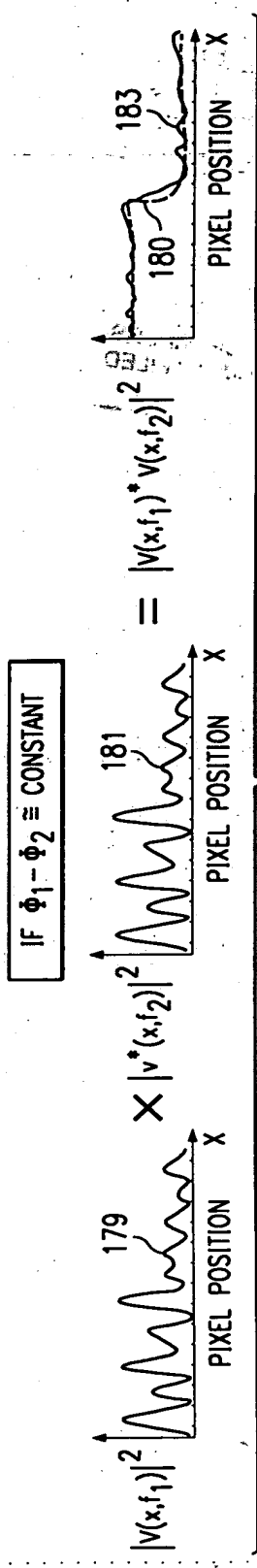


FIG. 7c

9/48

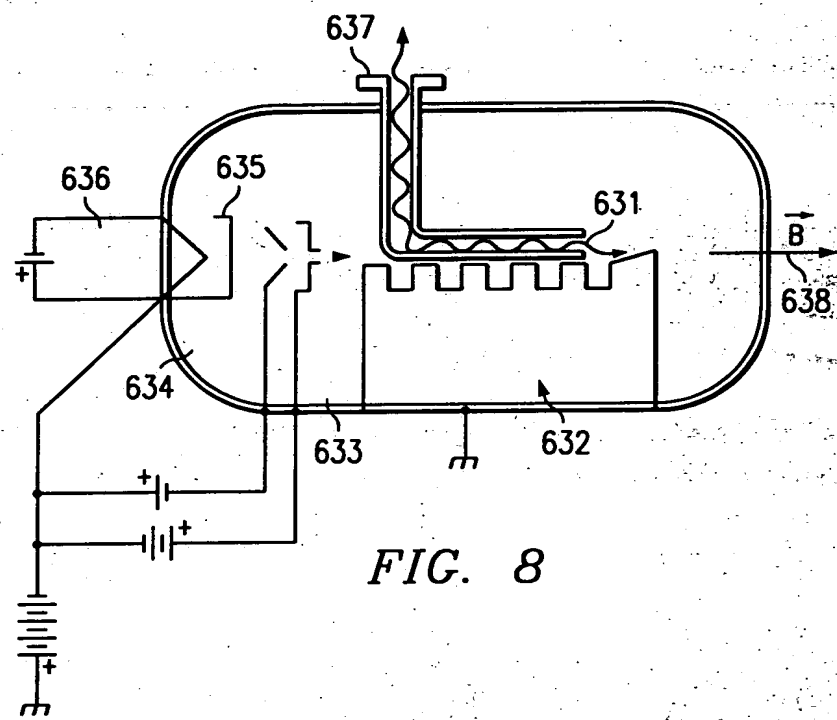


FIG. 8

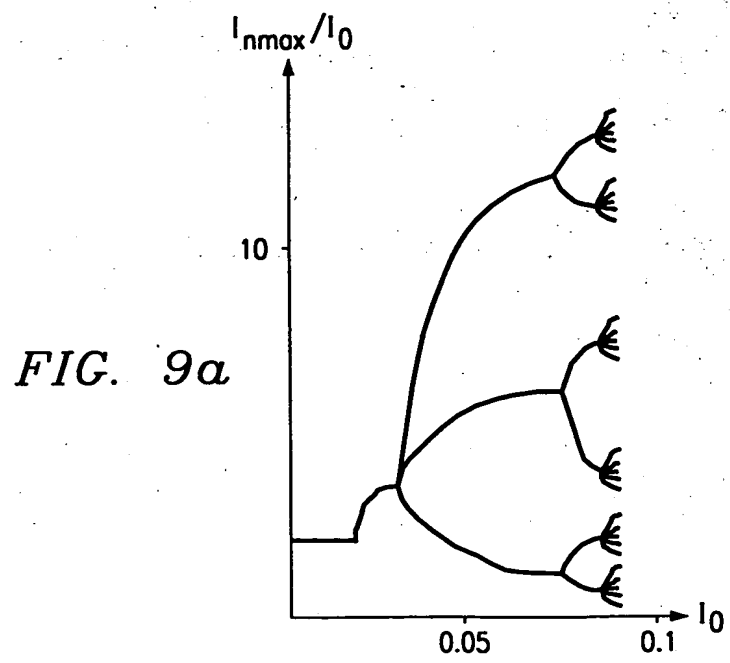


FIG. 9a

10/48

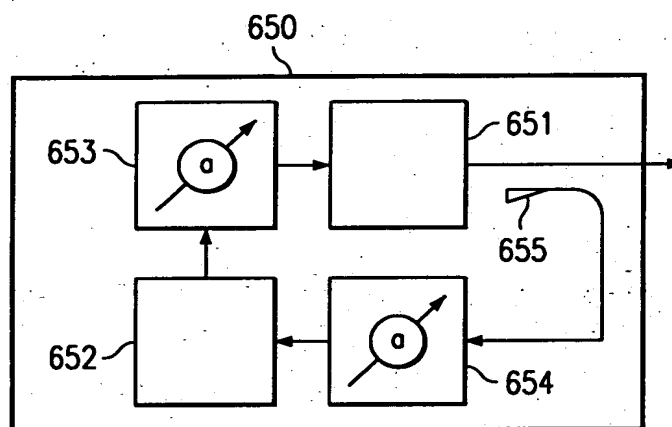
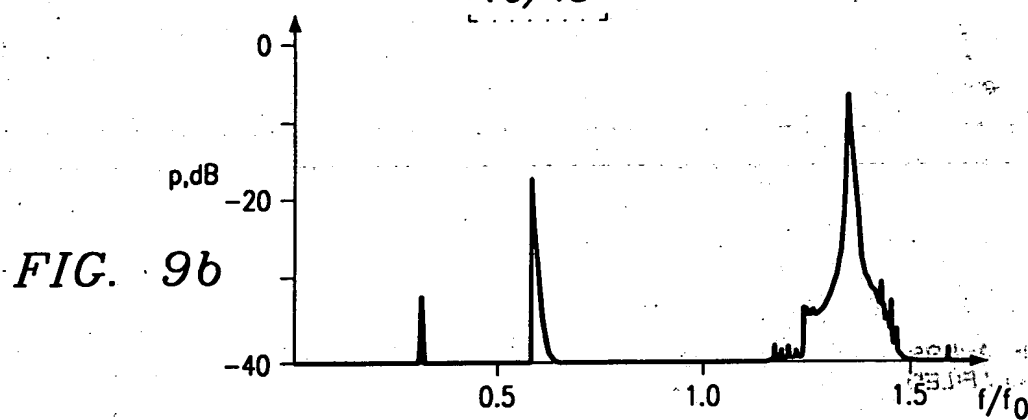


FIG. 10

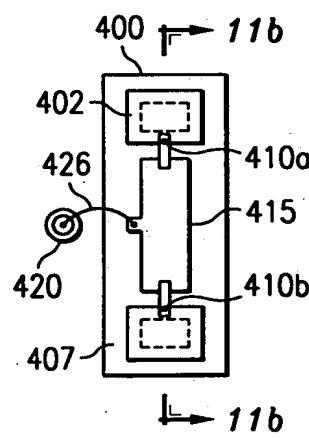


FIG. 11a

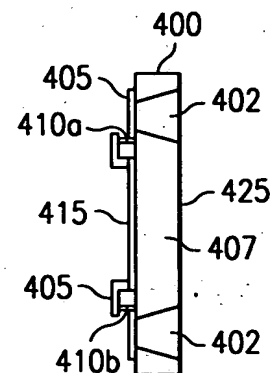


FIG. 11b

11/48

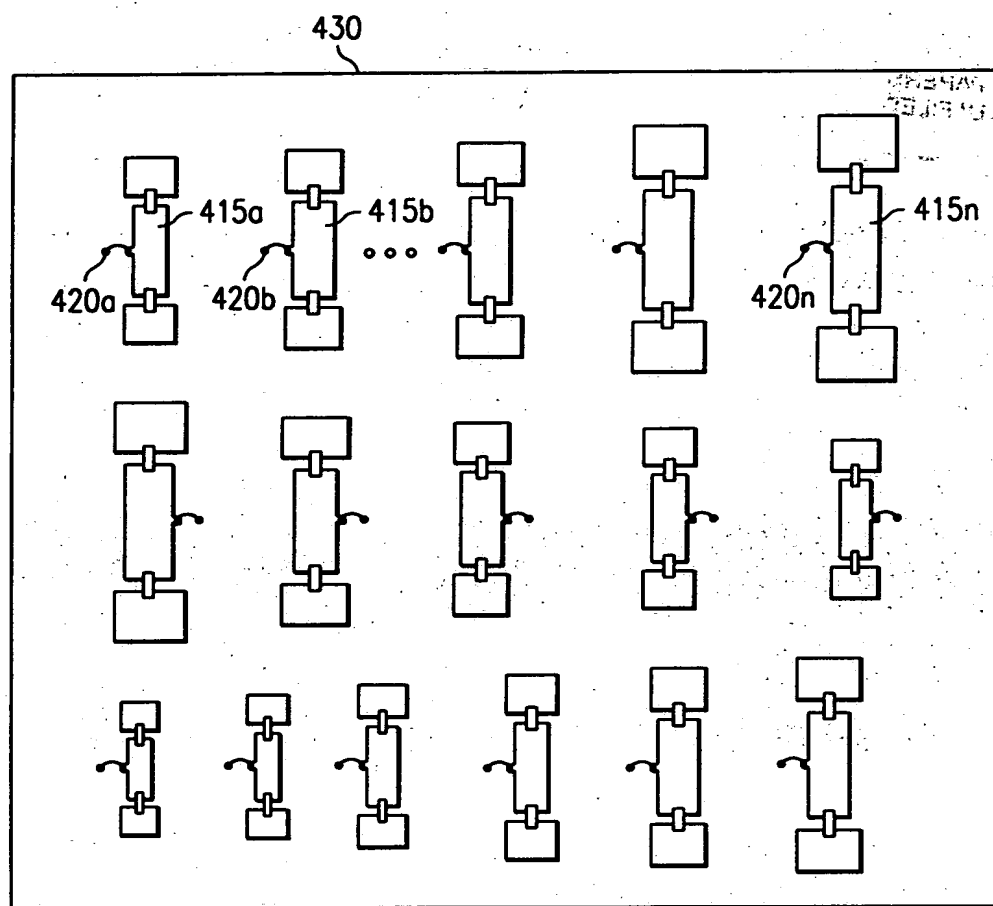


FIG. 11c

12/48

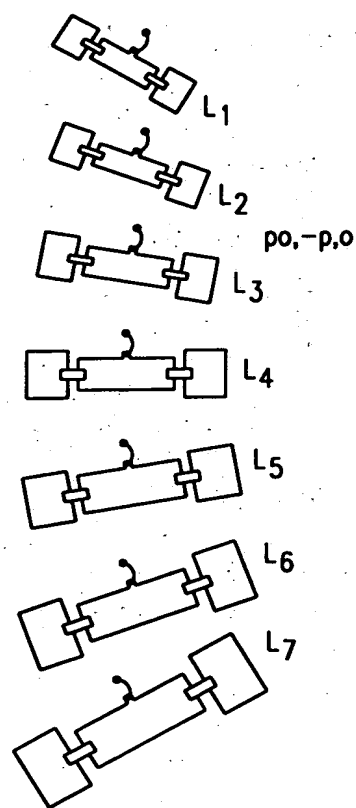


FIG. 12a

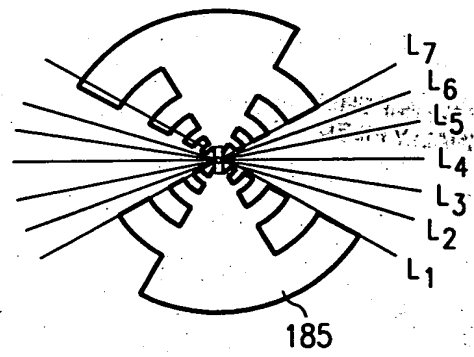


FIG. 12b

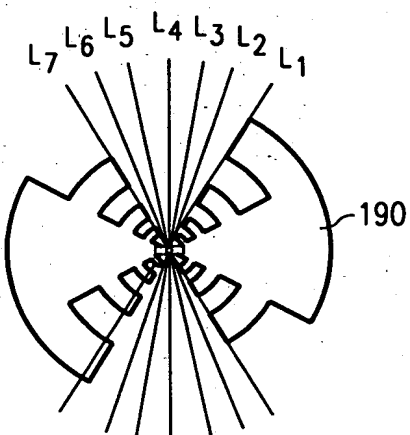


FIG. 12c

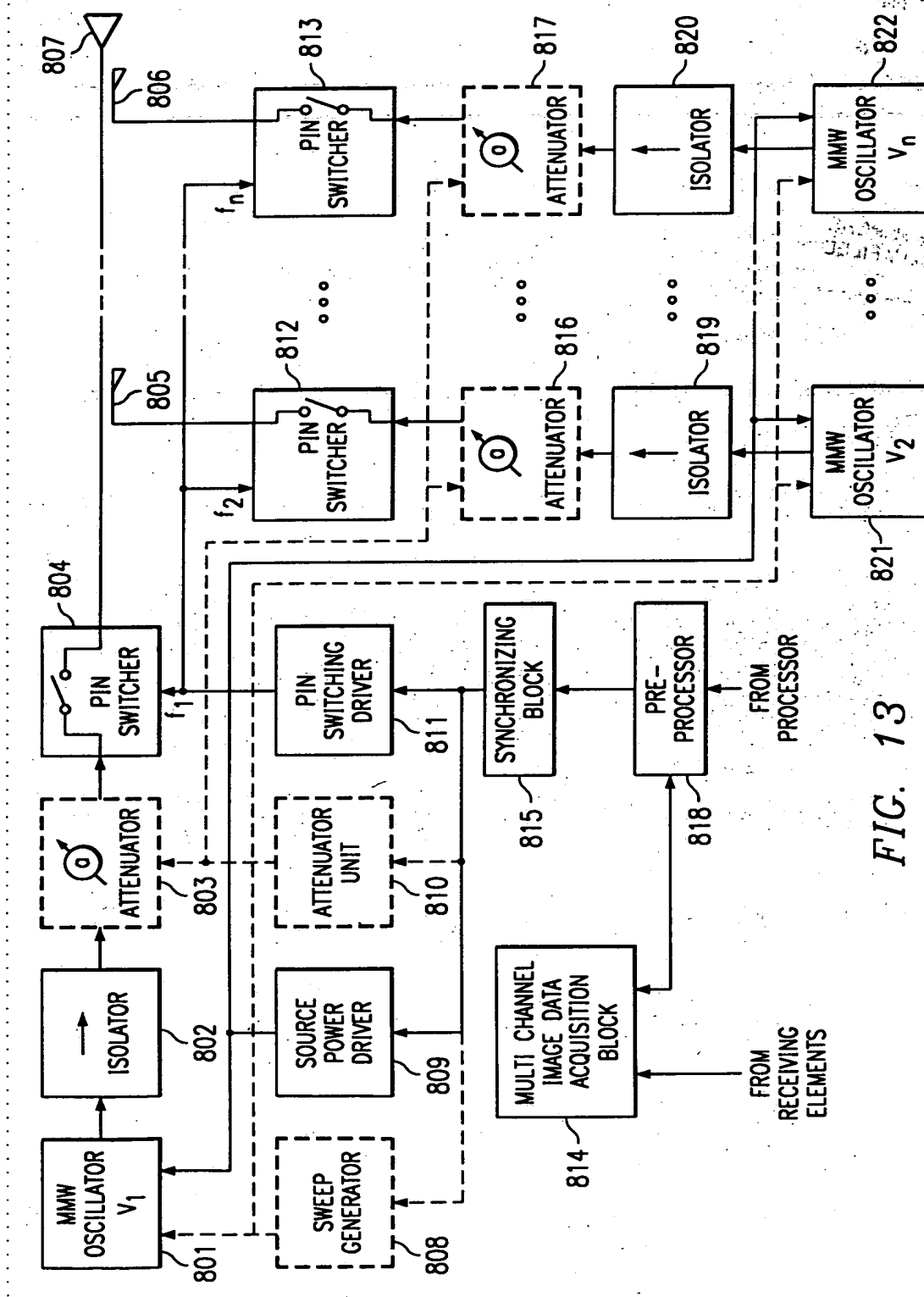


FIG. 13

14/48

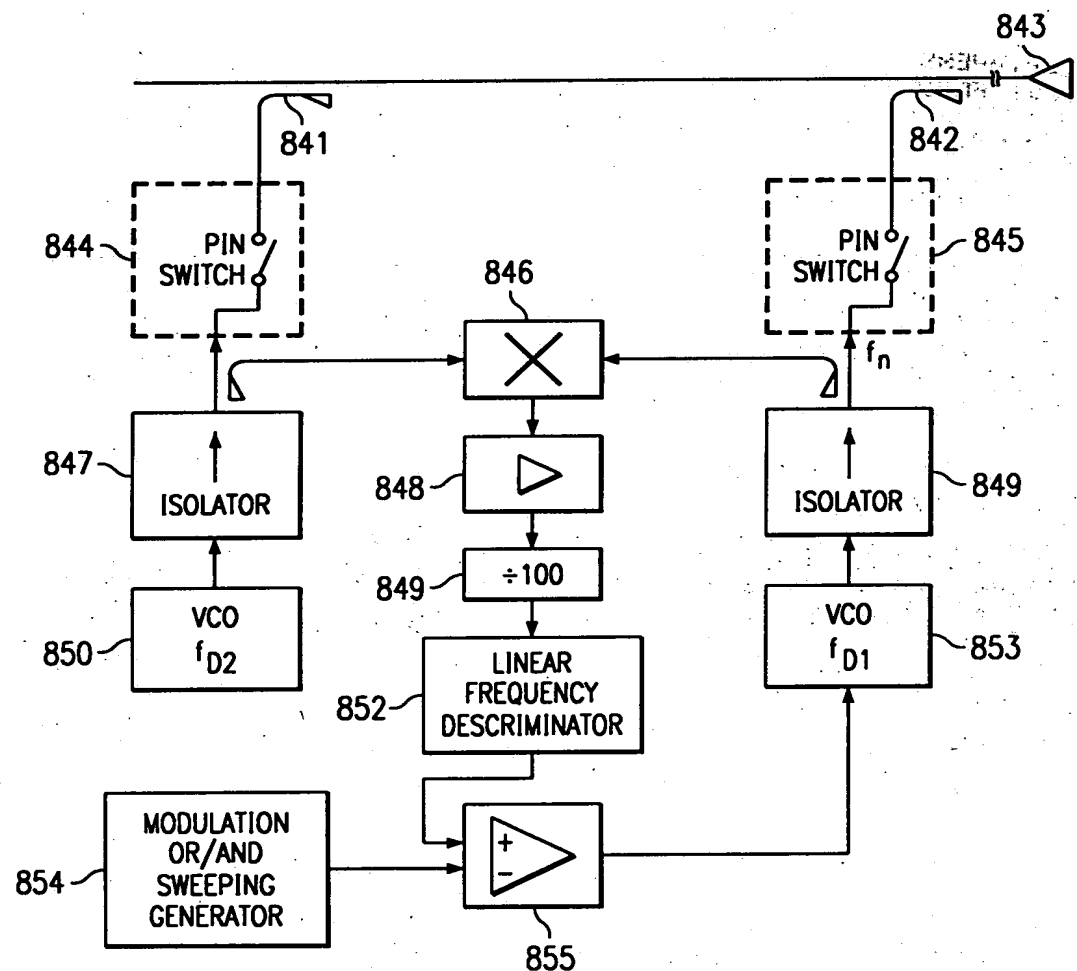


FIG. 14a

15/48

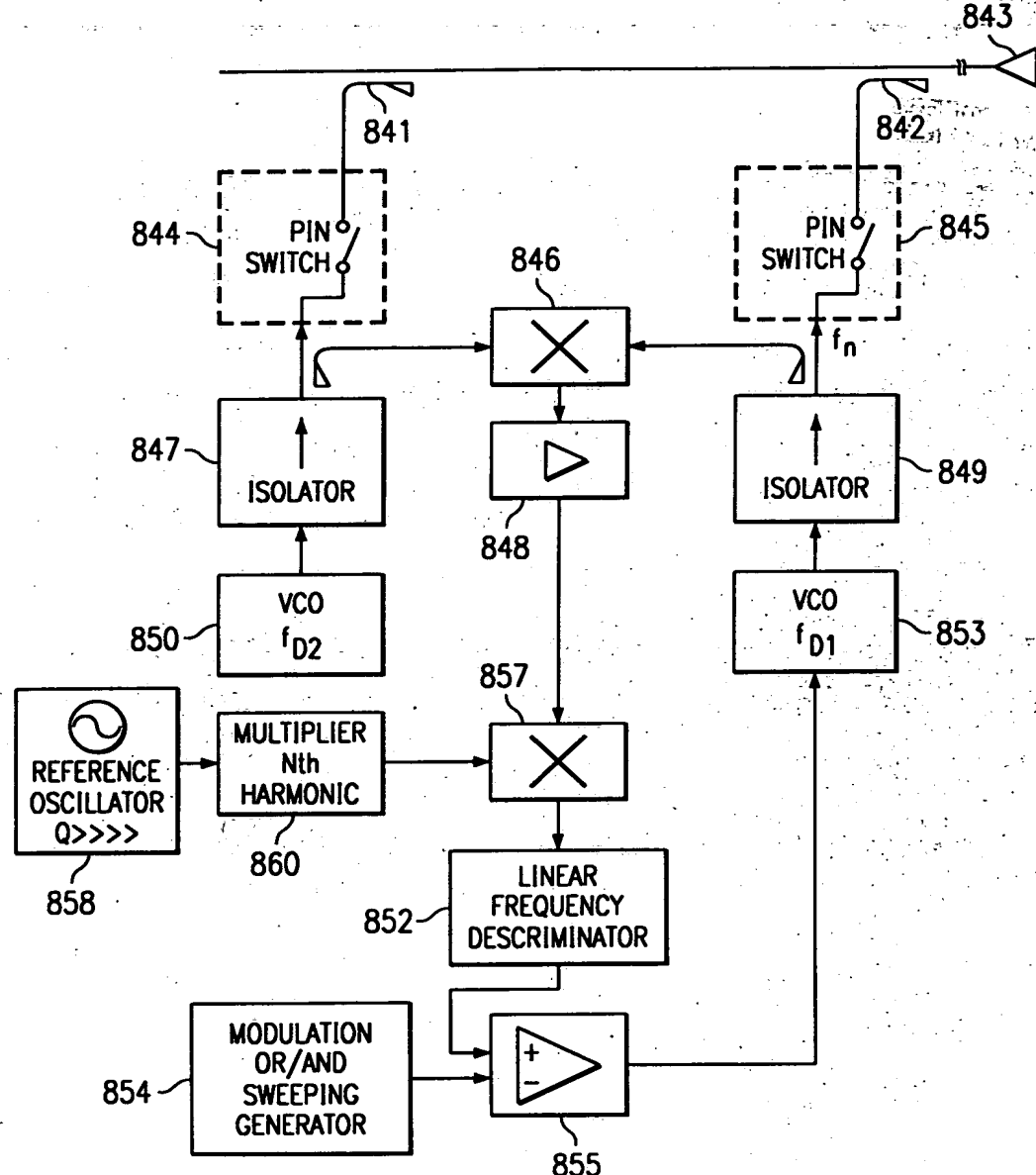
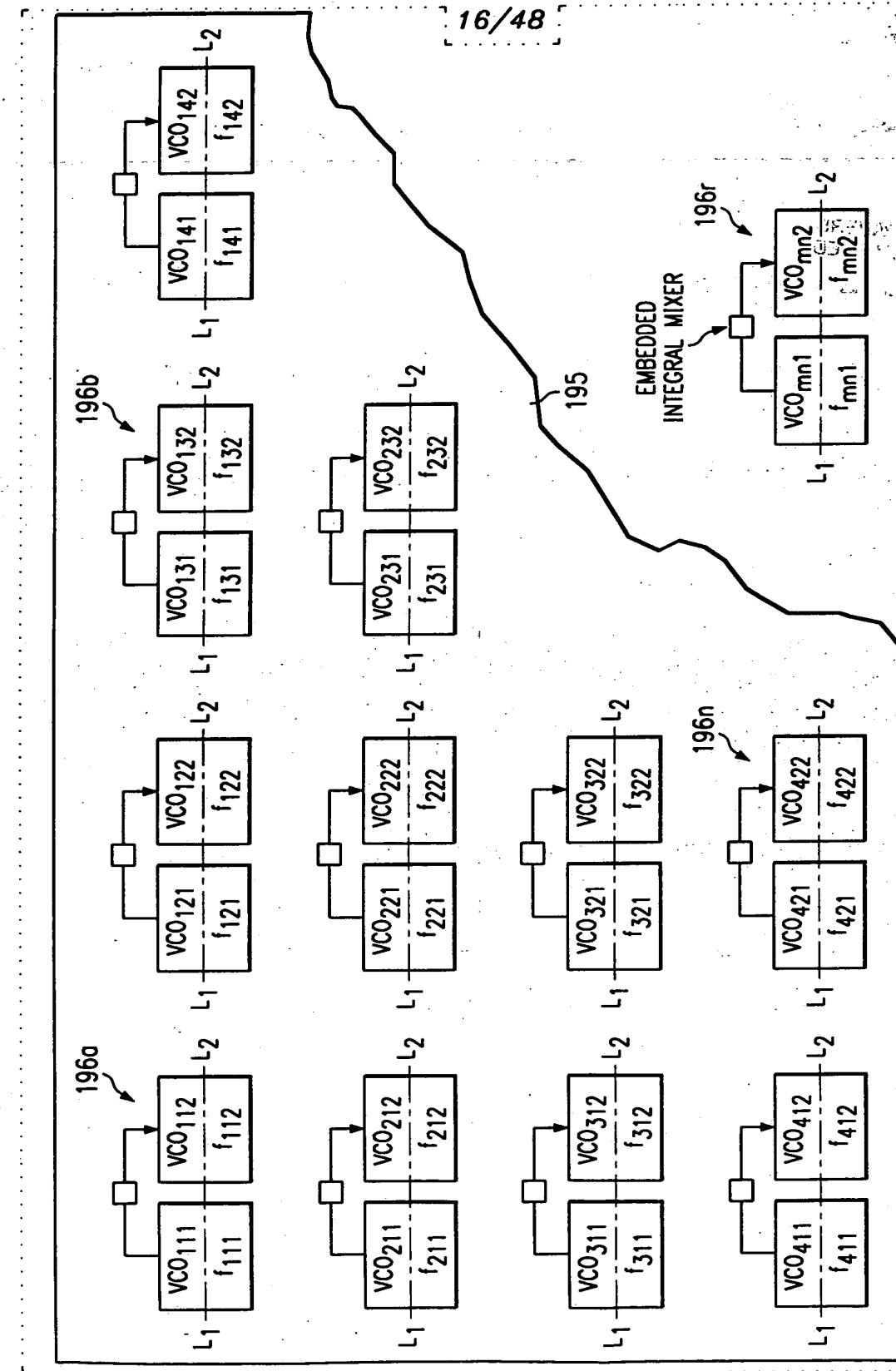
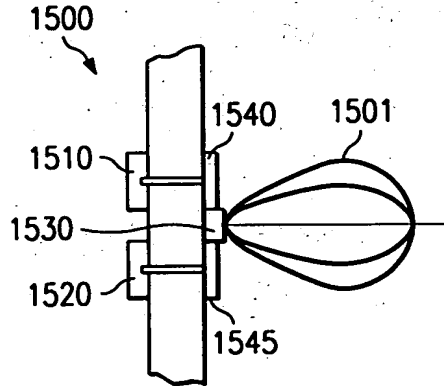
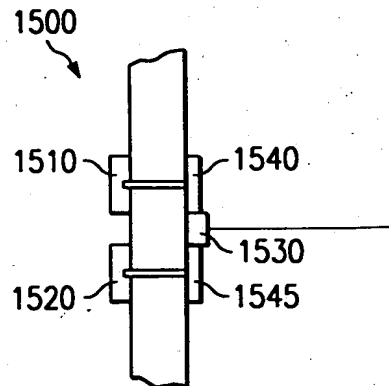
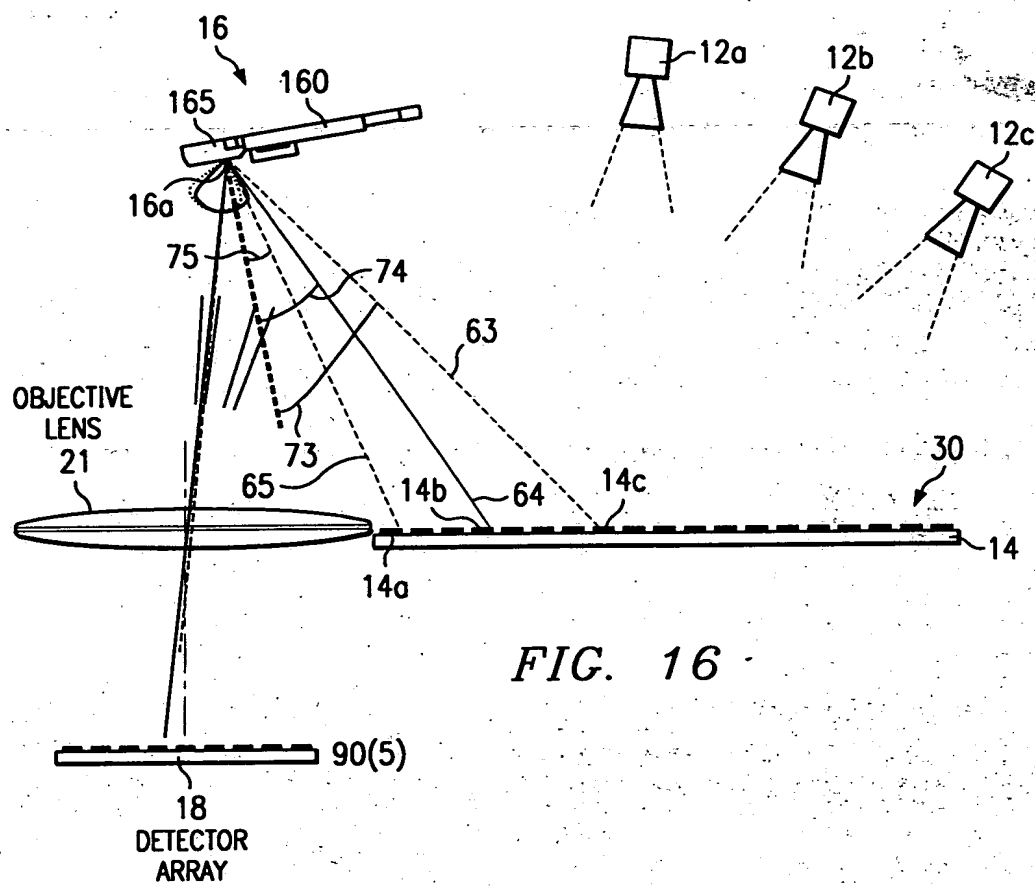


FIG. 14b

16/48



17/48



18/48

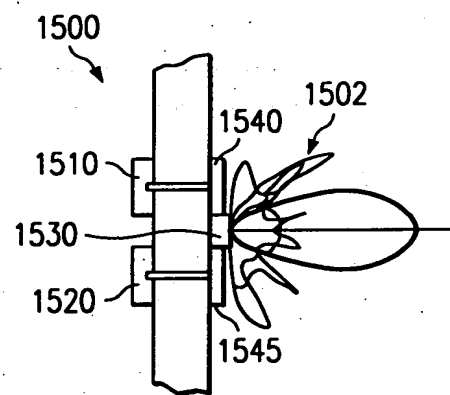


FIG. 17c

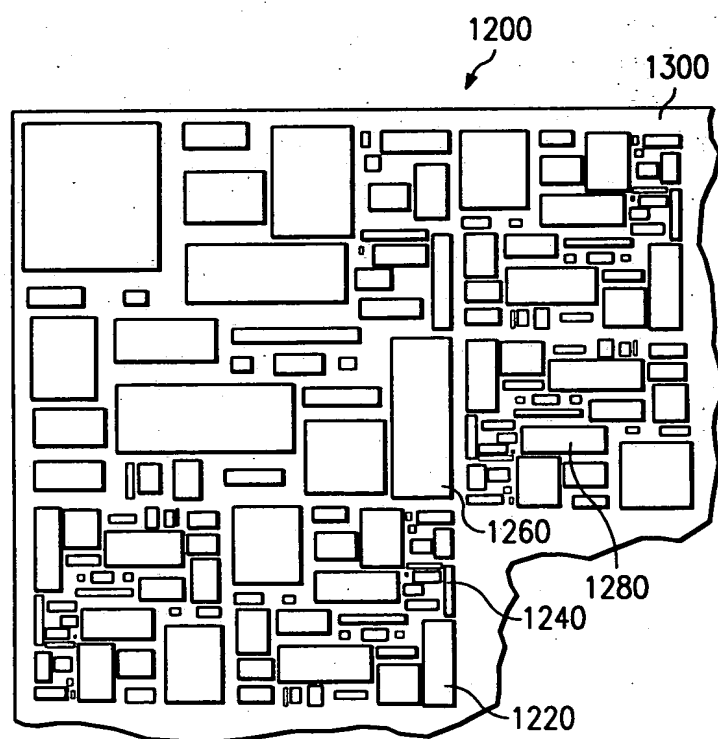


FIG. 18a

19/48

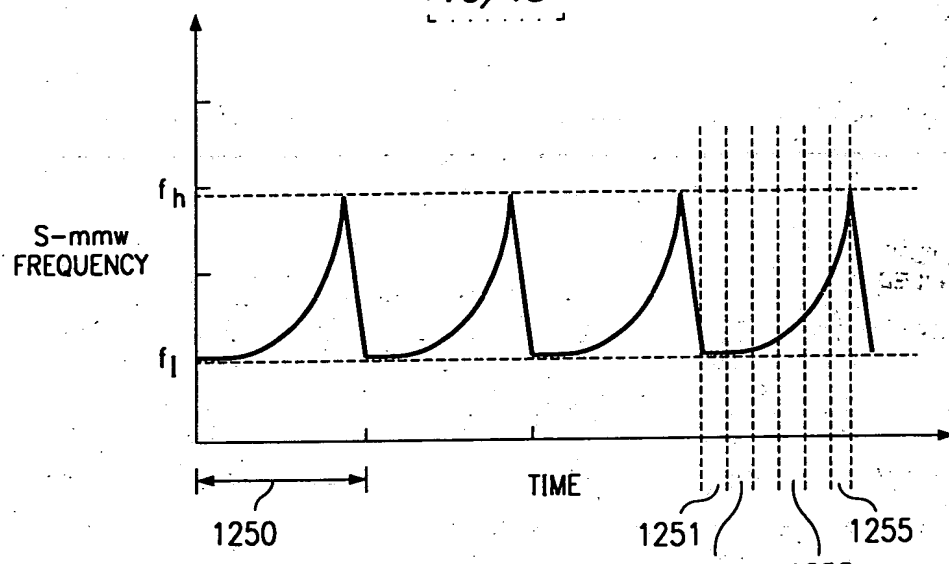


FIG. 18b

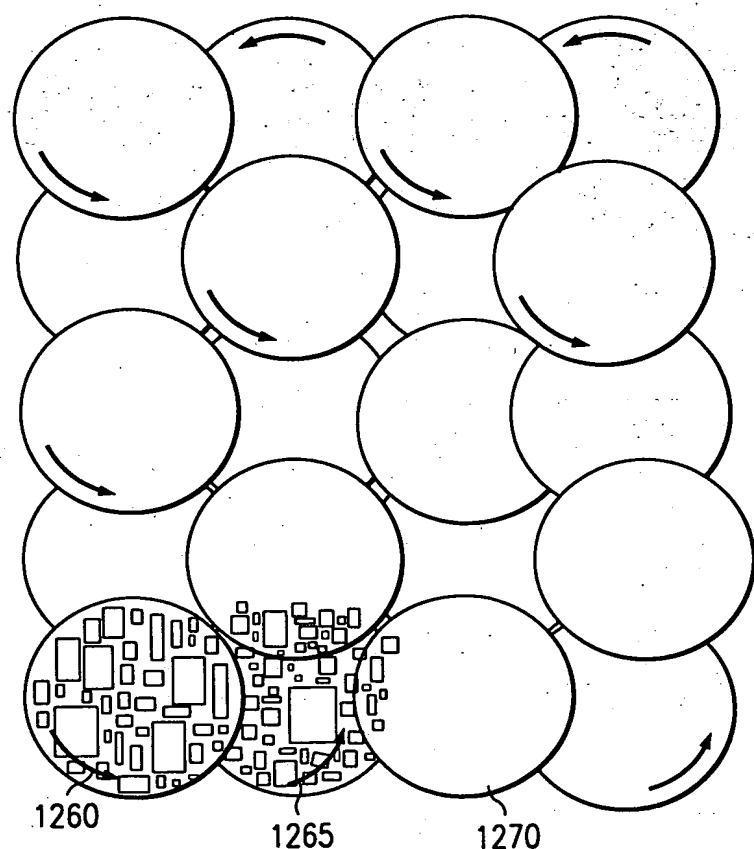
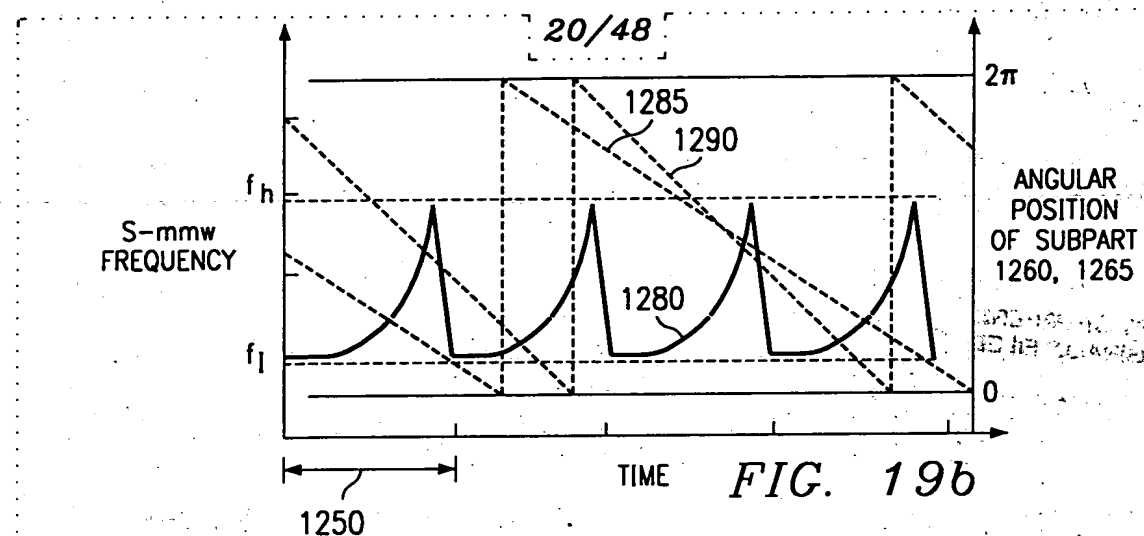
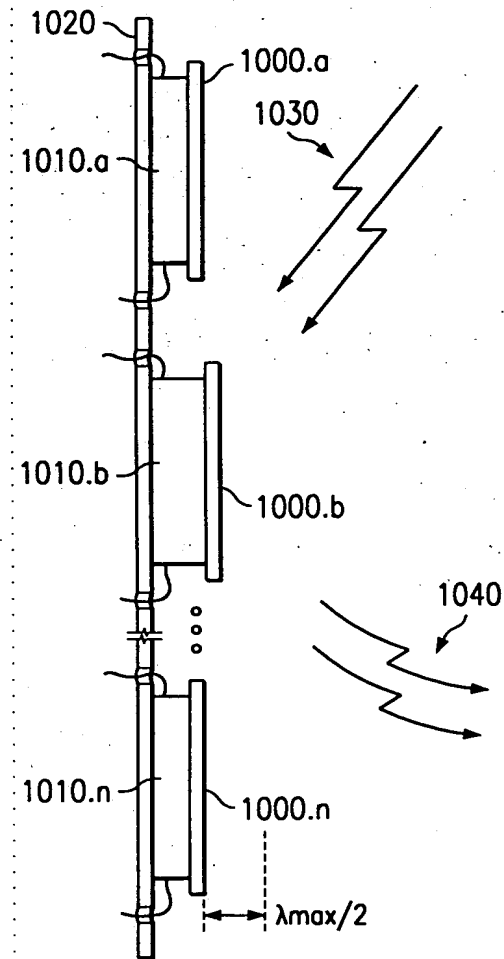
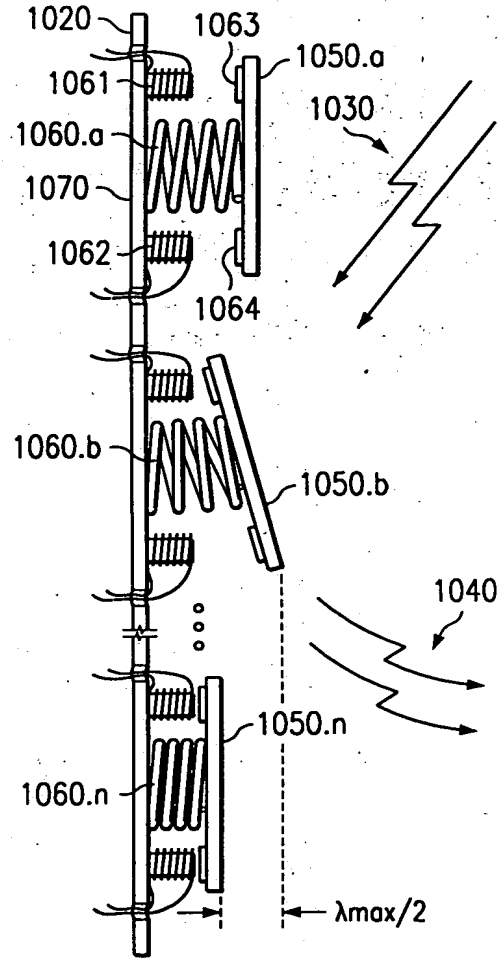


FIG. 19a

**FIG. 20a****FIG. 20b**

21/48

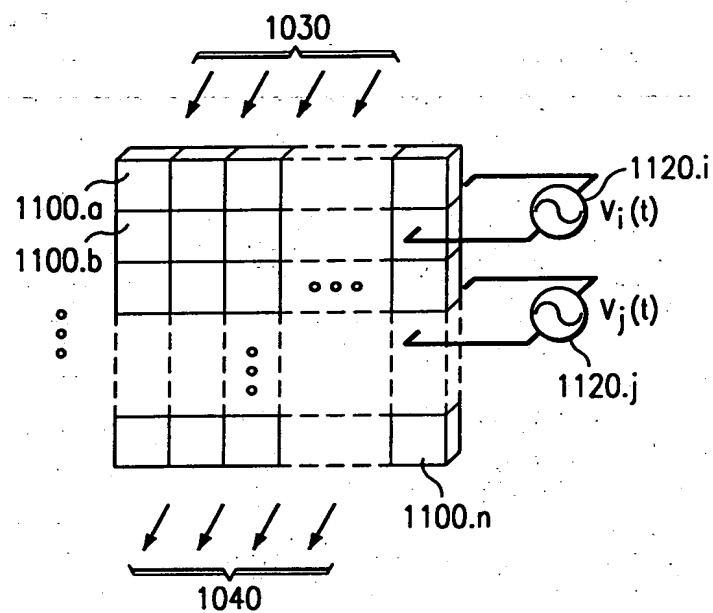


FIG. 21

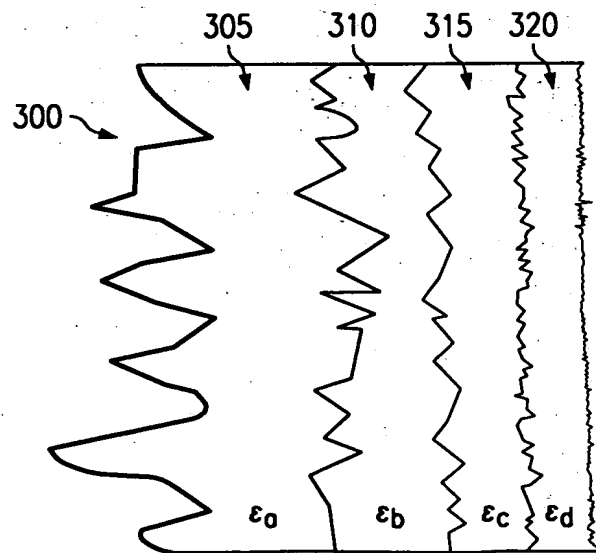
FIG. 22
(PRIOR ART)

FIG. 23a

ROS8009

22/48

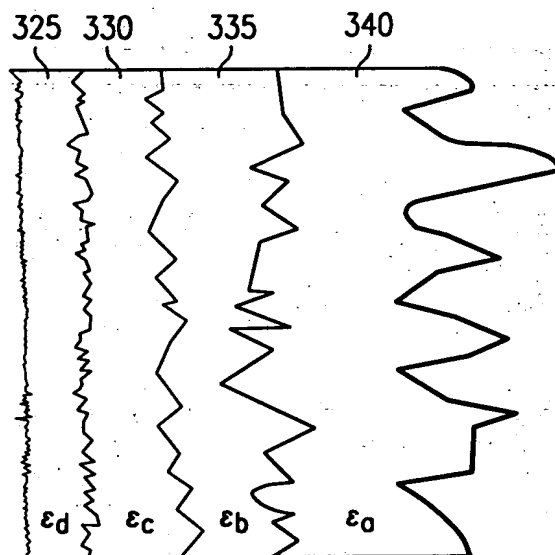


FIG. 23b

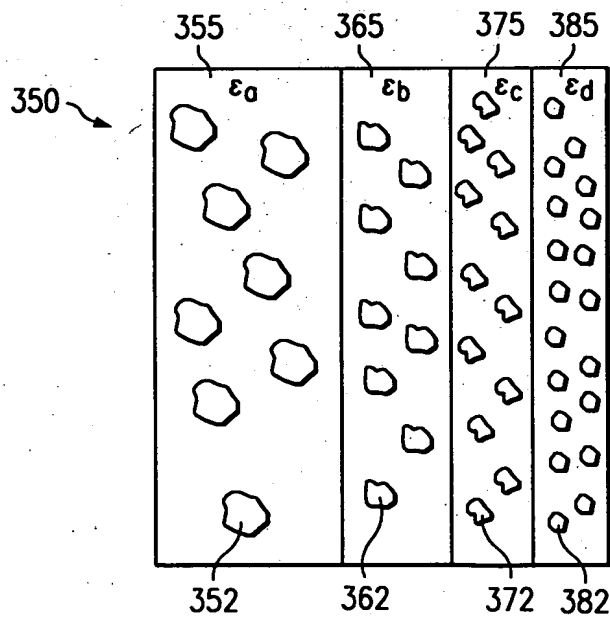


FIG. 24

23/48

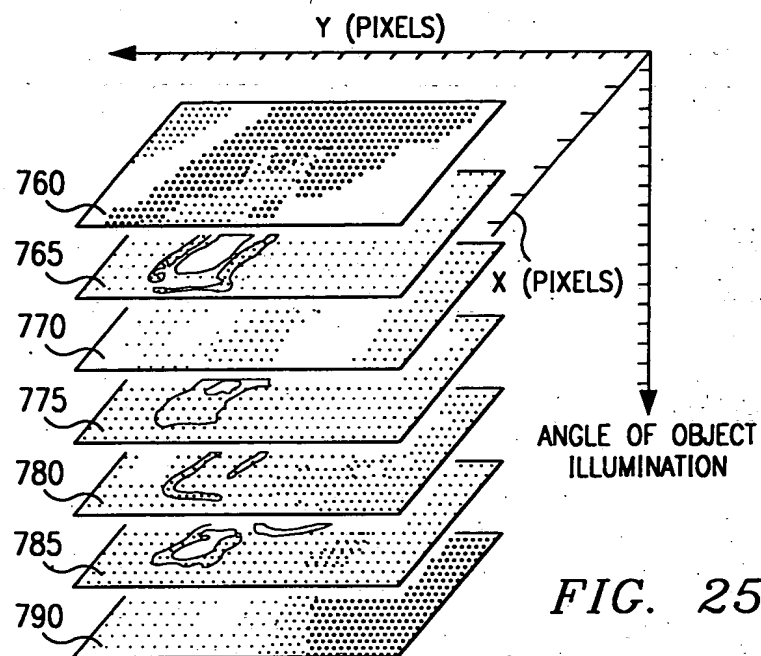


FIG. 25a

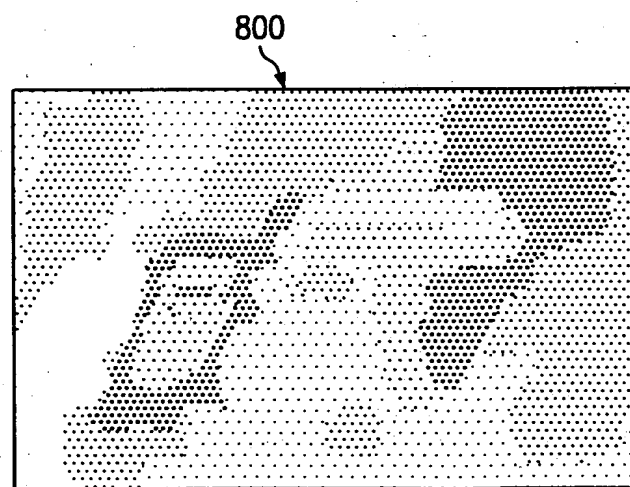


FIG. 25b

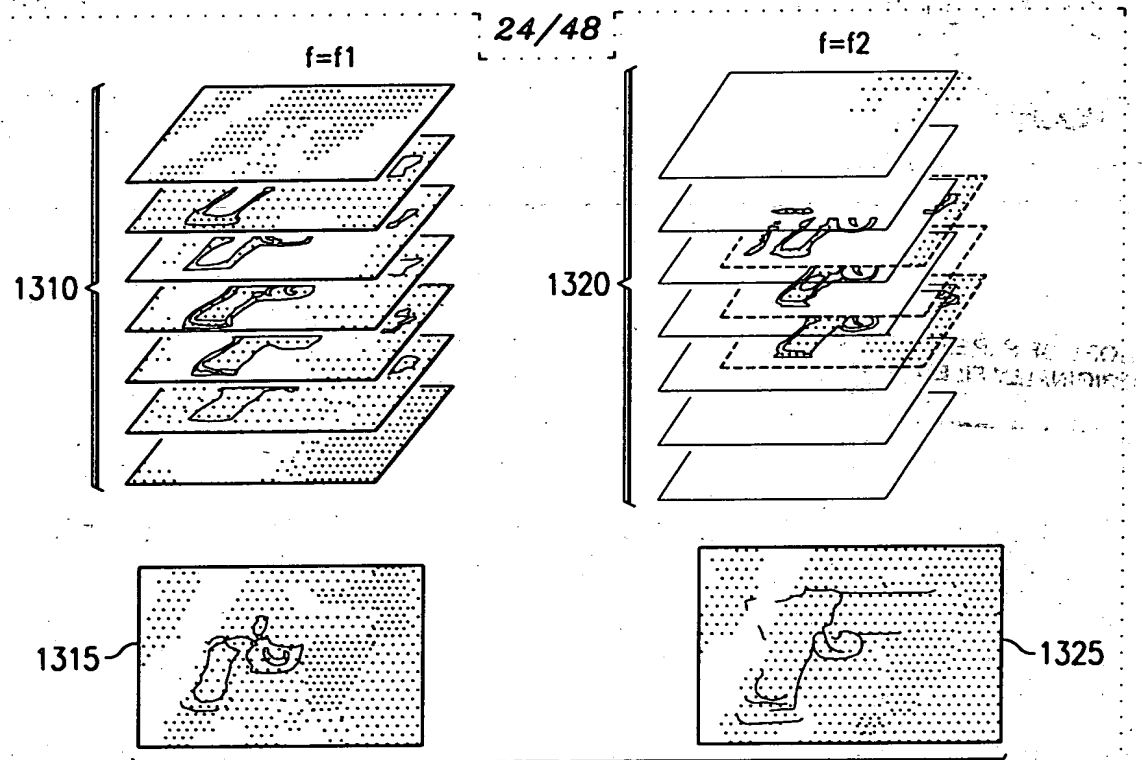


FIG. 26

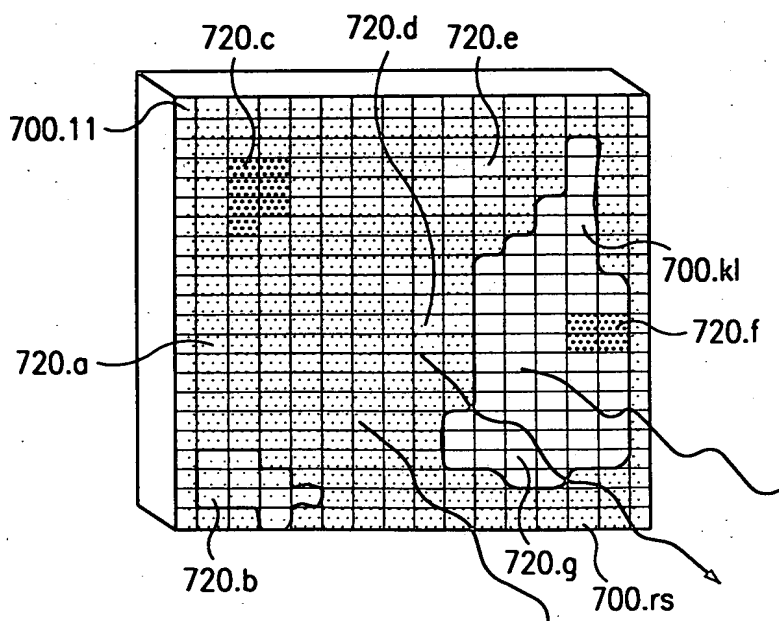


FIG. 27a

25/48

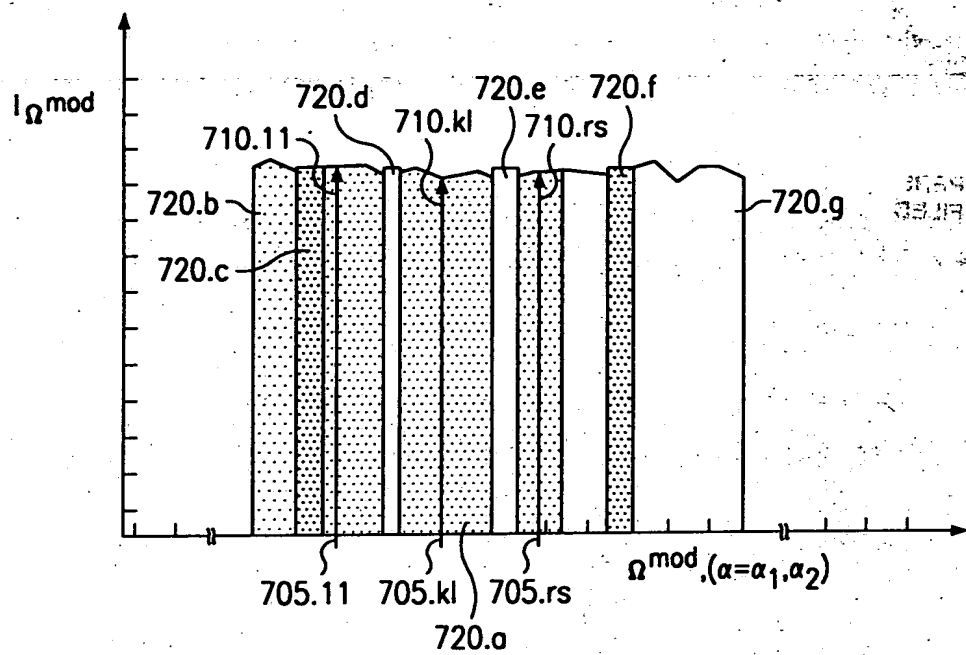


FIG. 27b

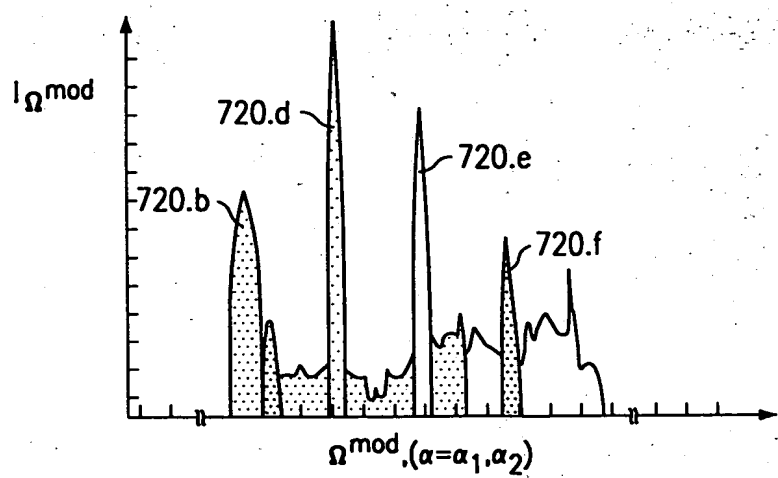


FIG. 27c

26/48

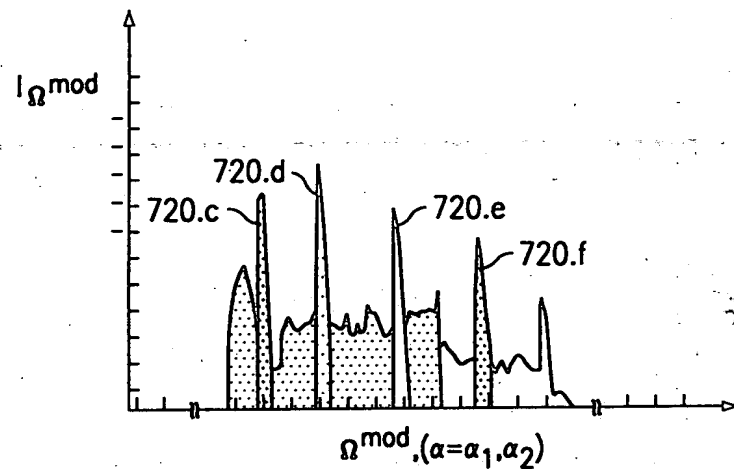


FIG. 27d

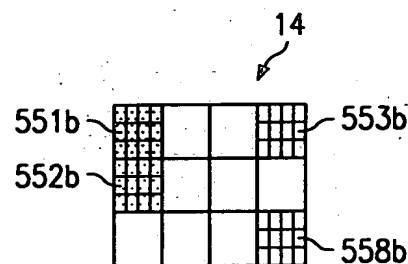


FIG. 28a

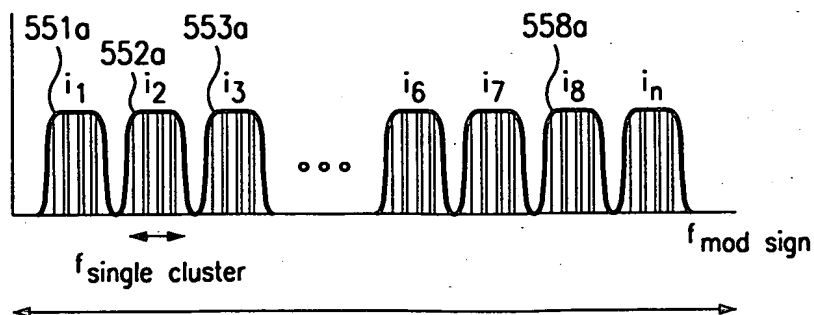


FIG. 28b

27/48

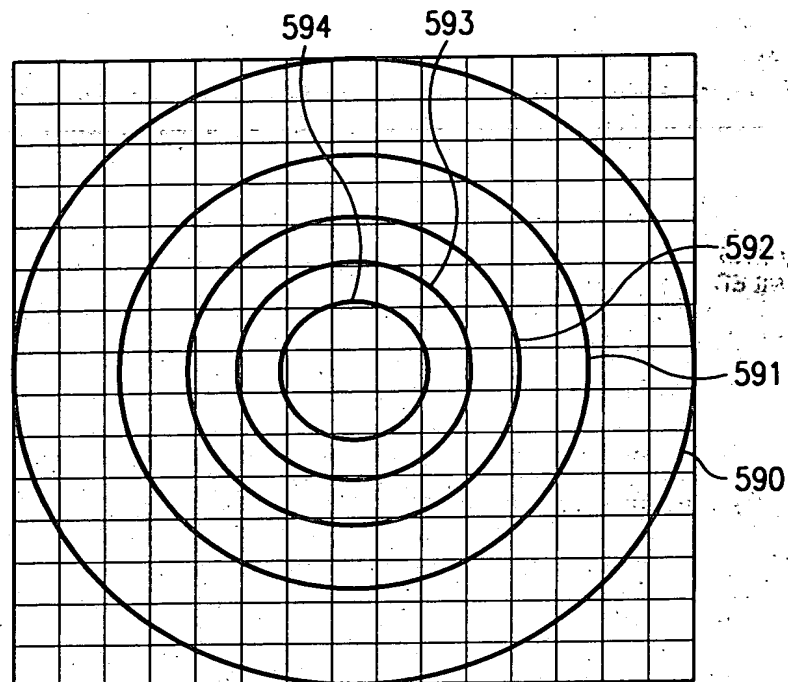


FIG. 29

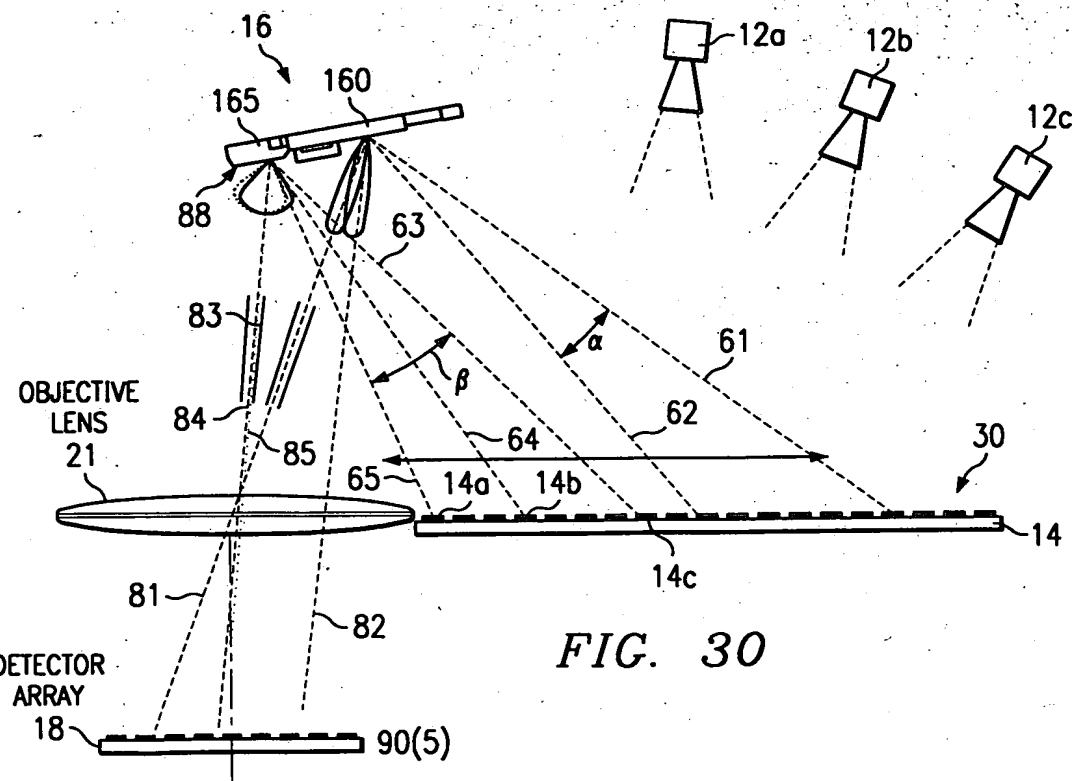


FIG. 30

28/48

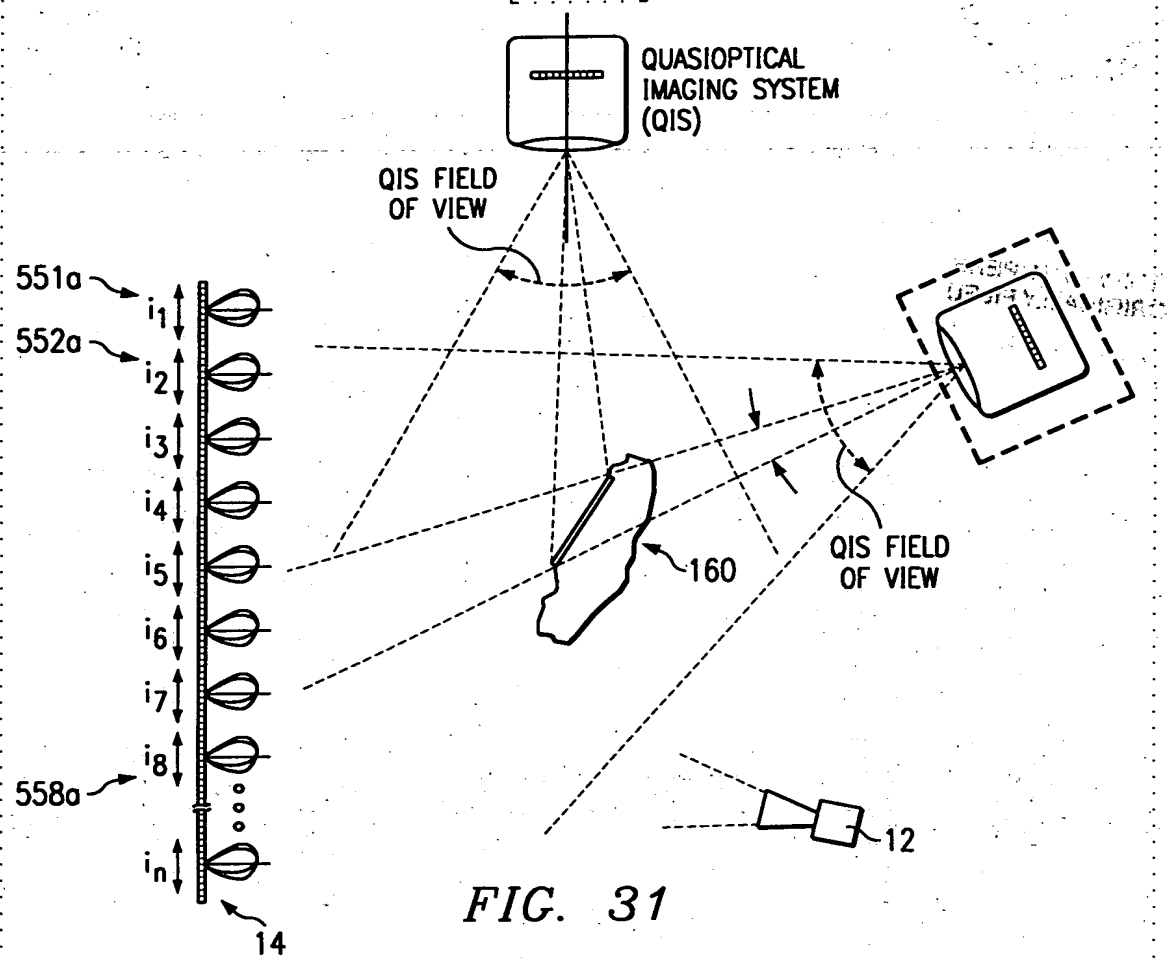


FIG. 31

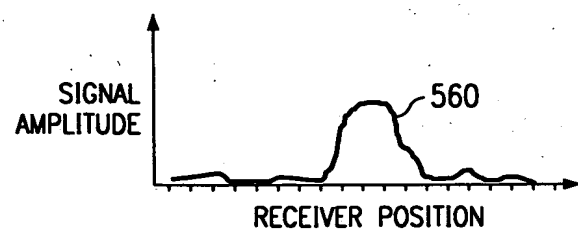
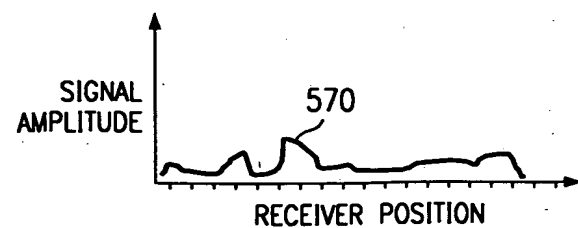
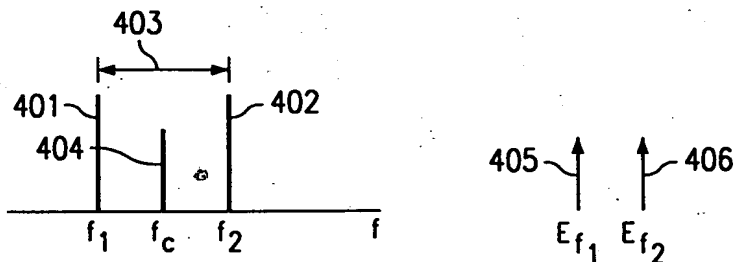
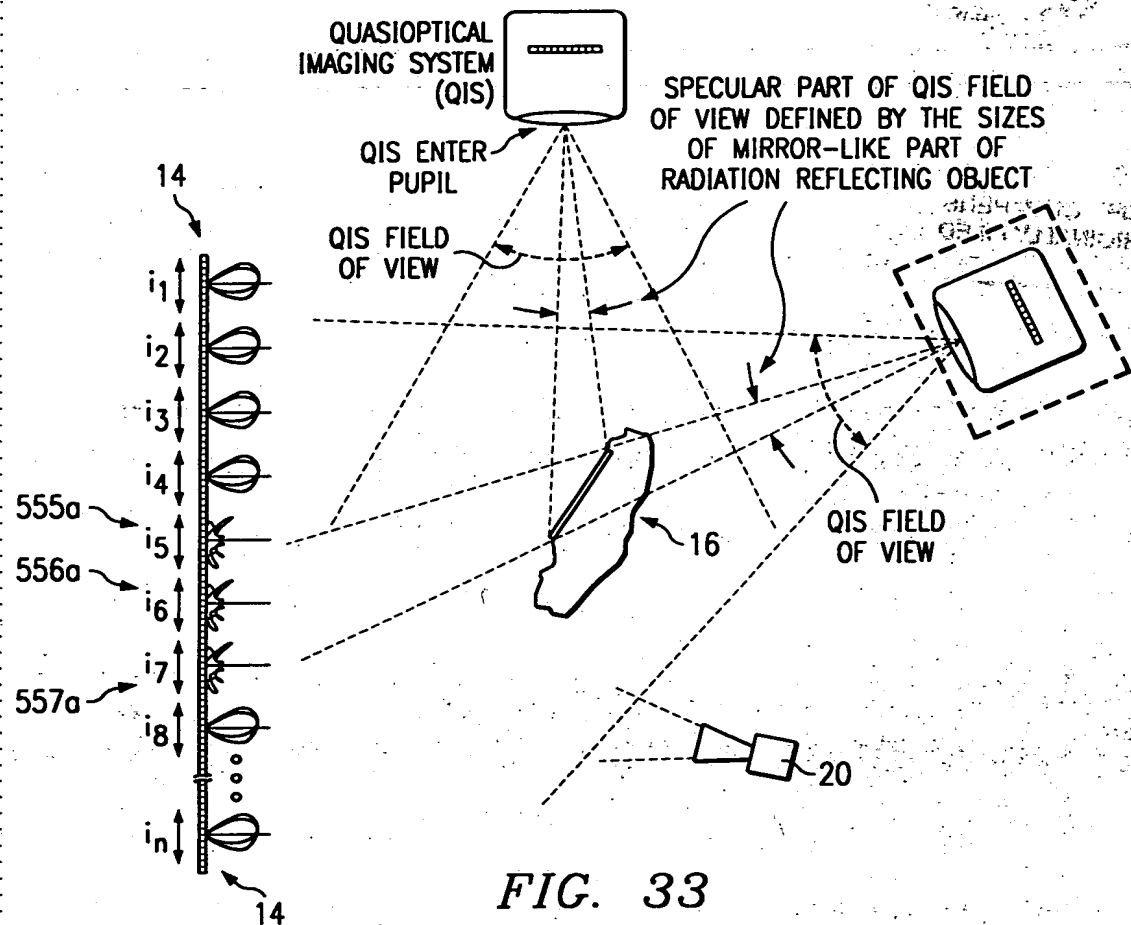


FIG. 32



29/48

**FIG. 36a**

30/48

FIG. 34

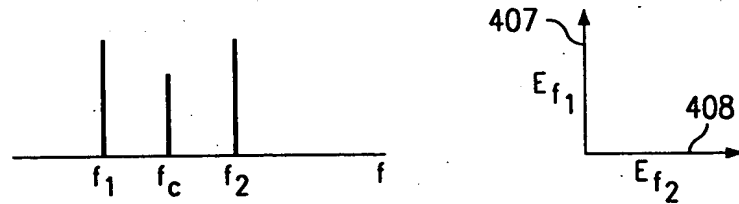
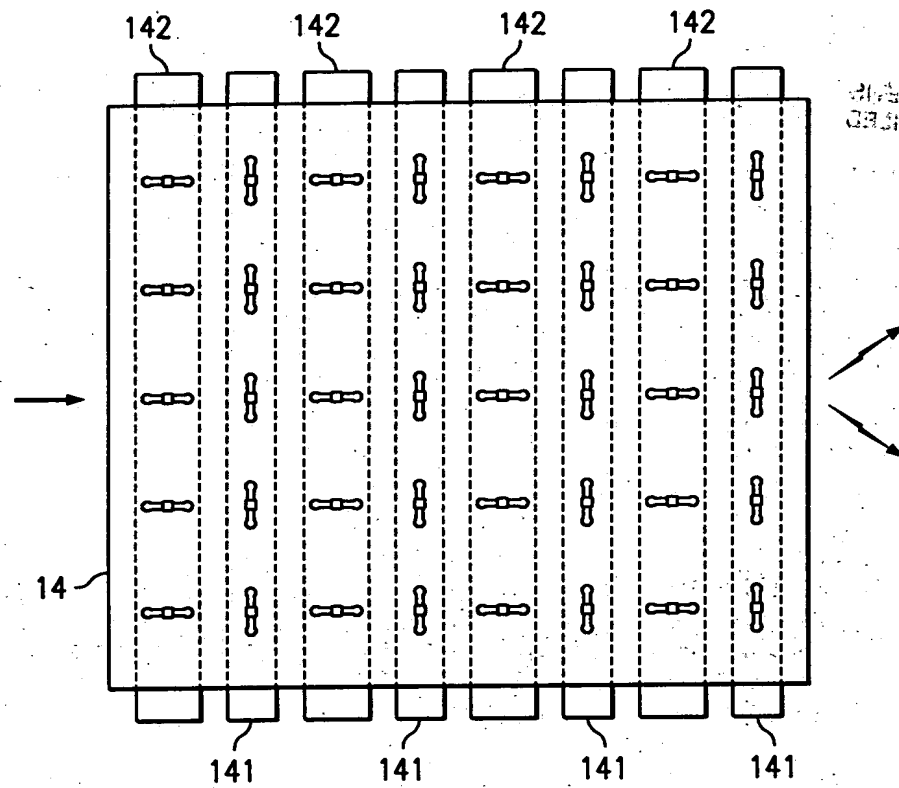


FIG. 36b

31/48

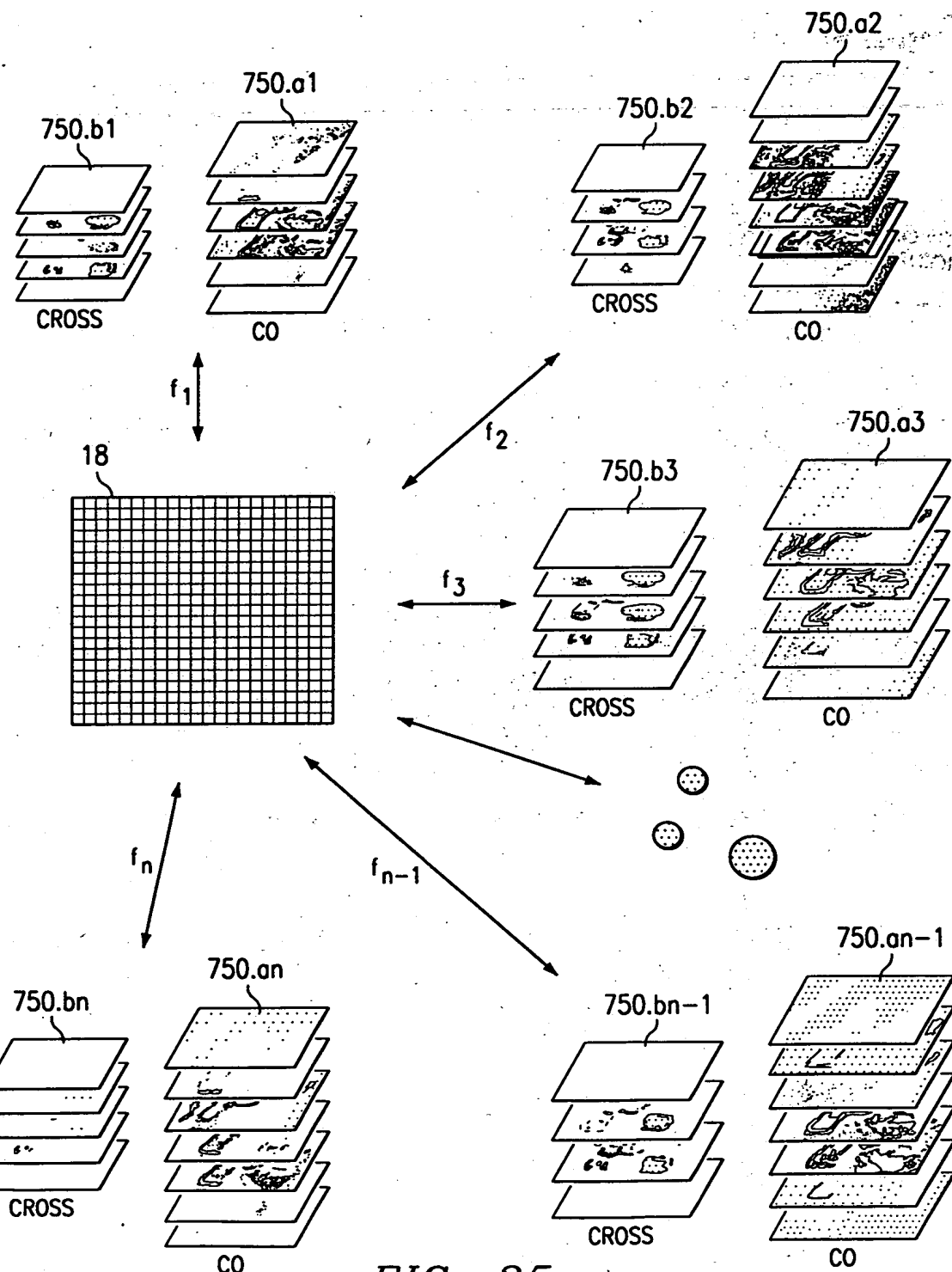


FIG. 35

32/48

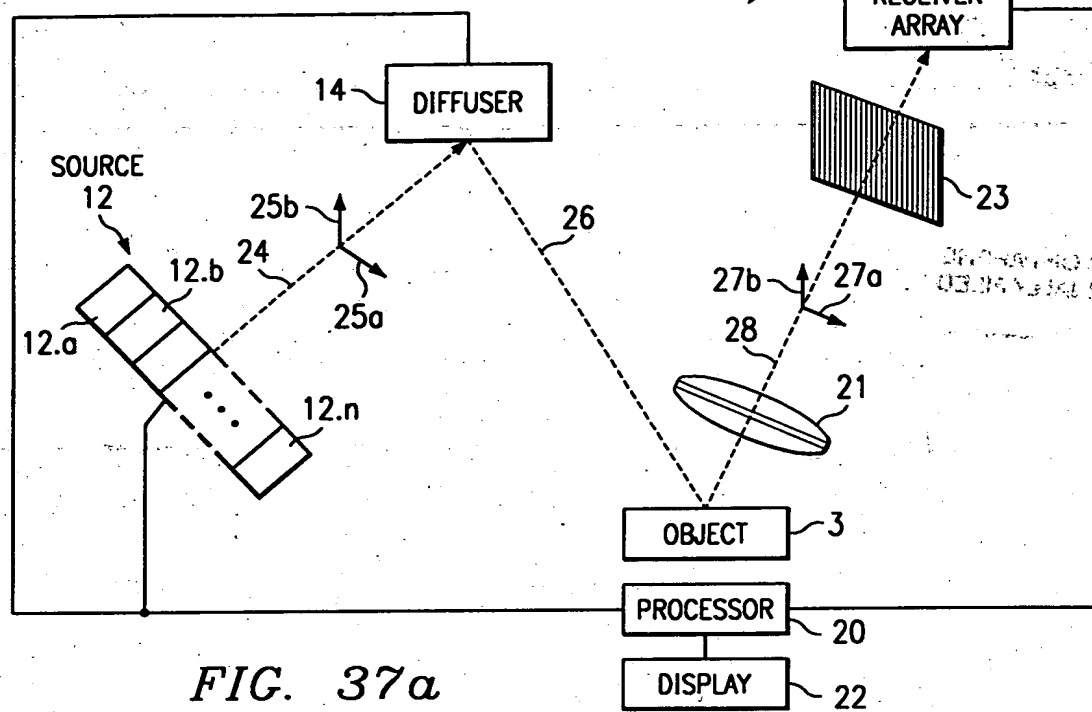


FIG. 37a

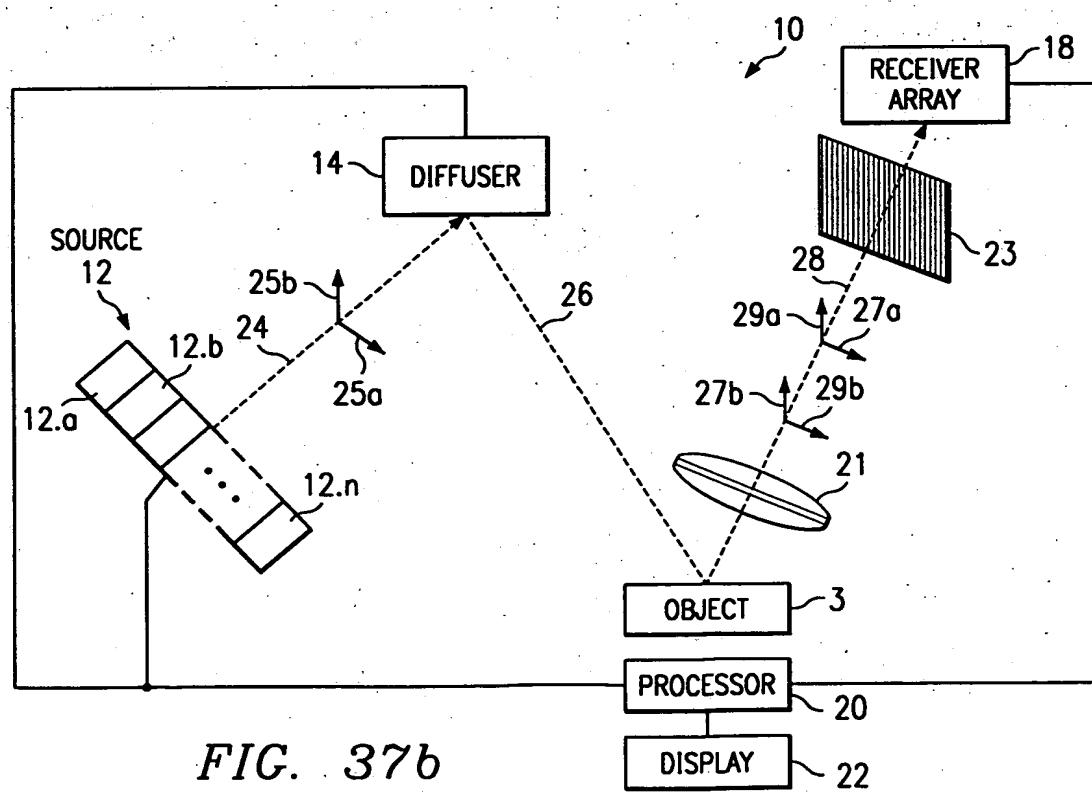


FIG. 37b

33/48

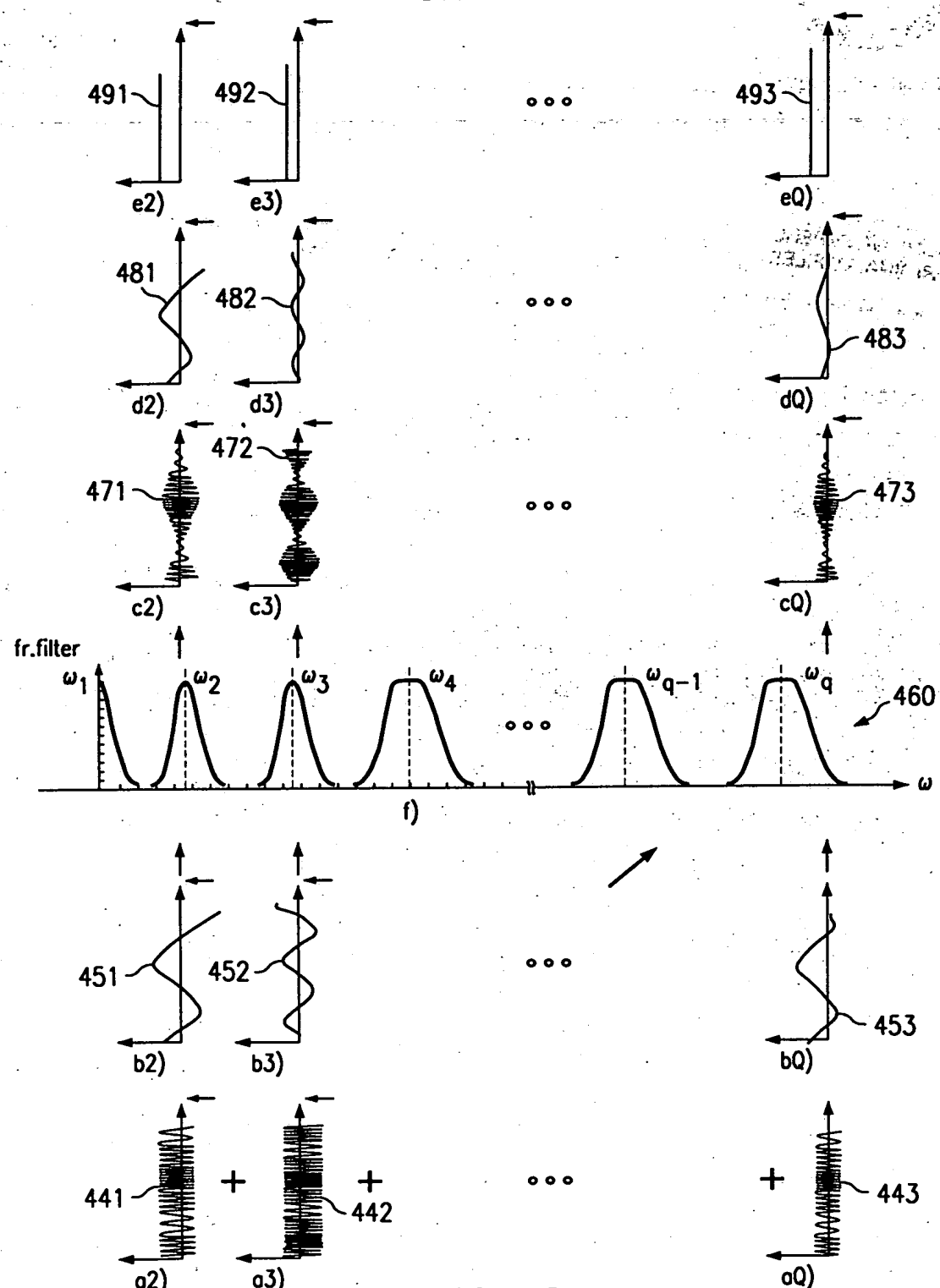


FIG. 38

34/48

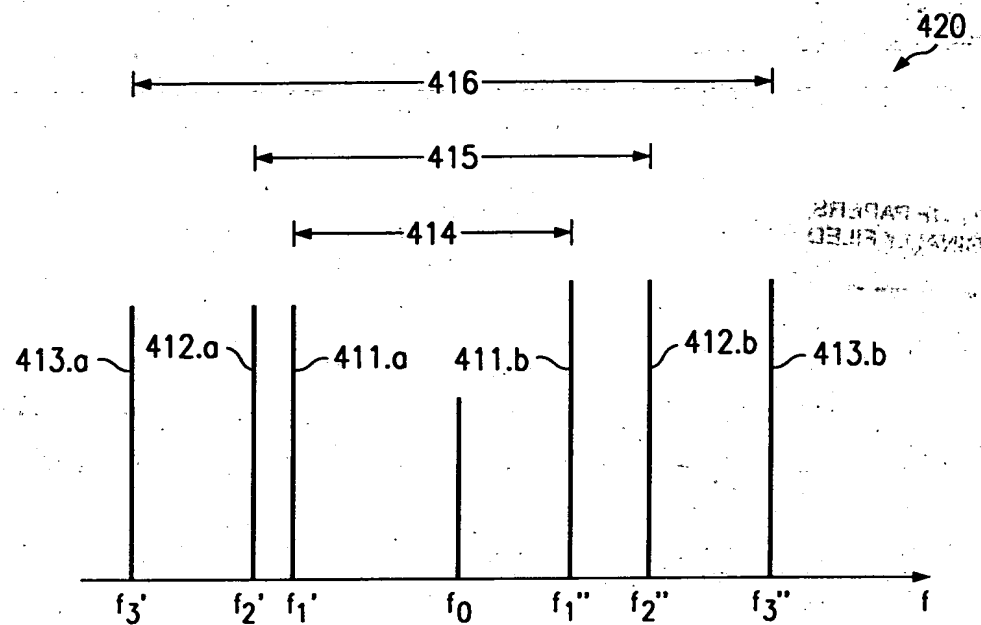


FIG. 39

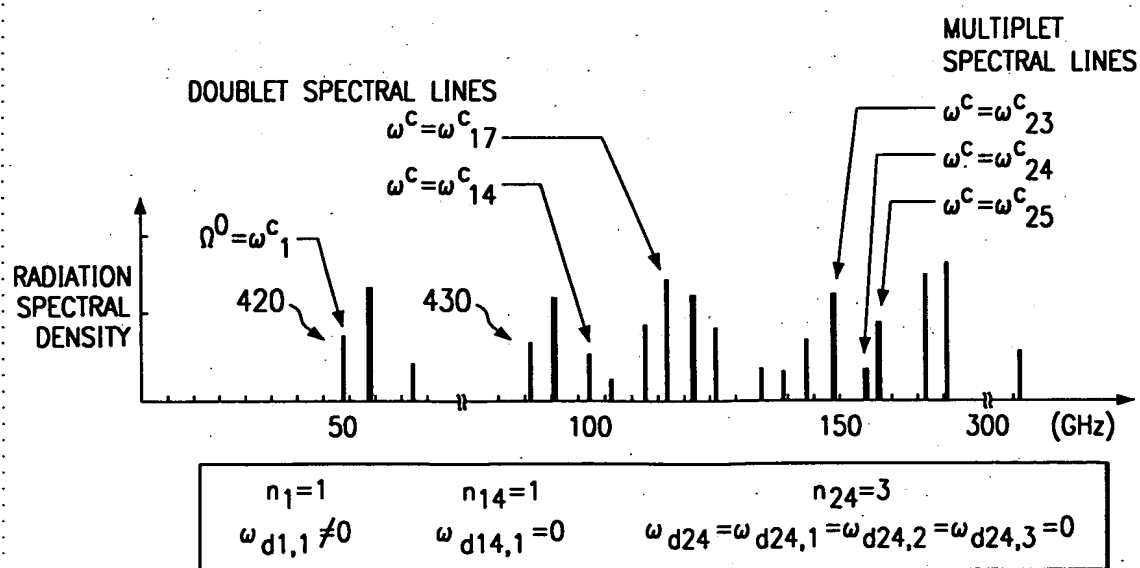


FIG. 40a

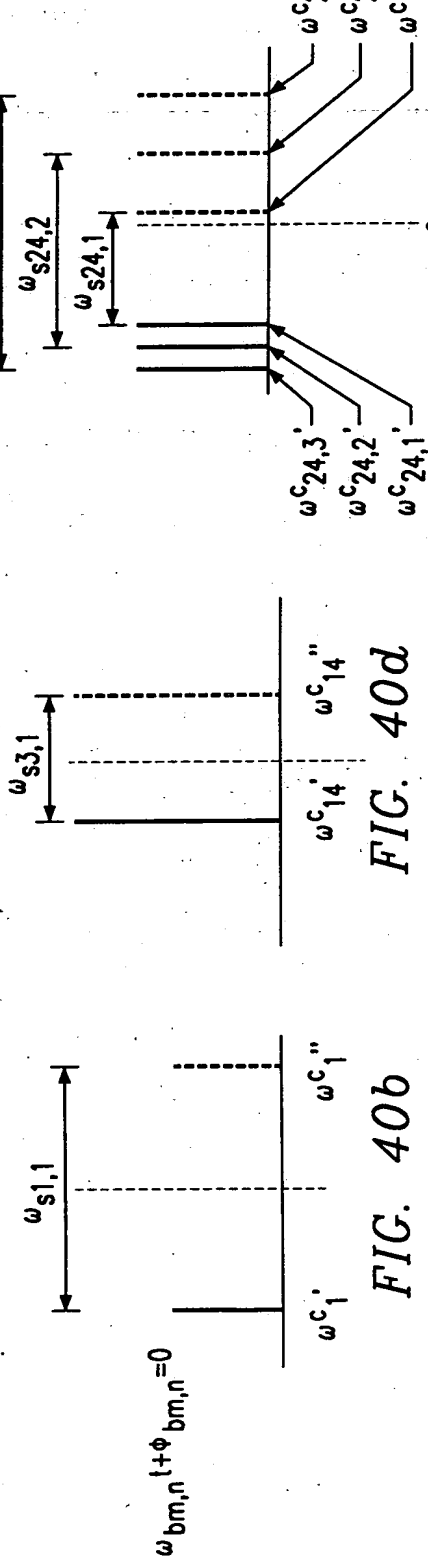


FIG. 40b

FIG. 40f

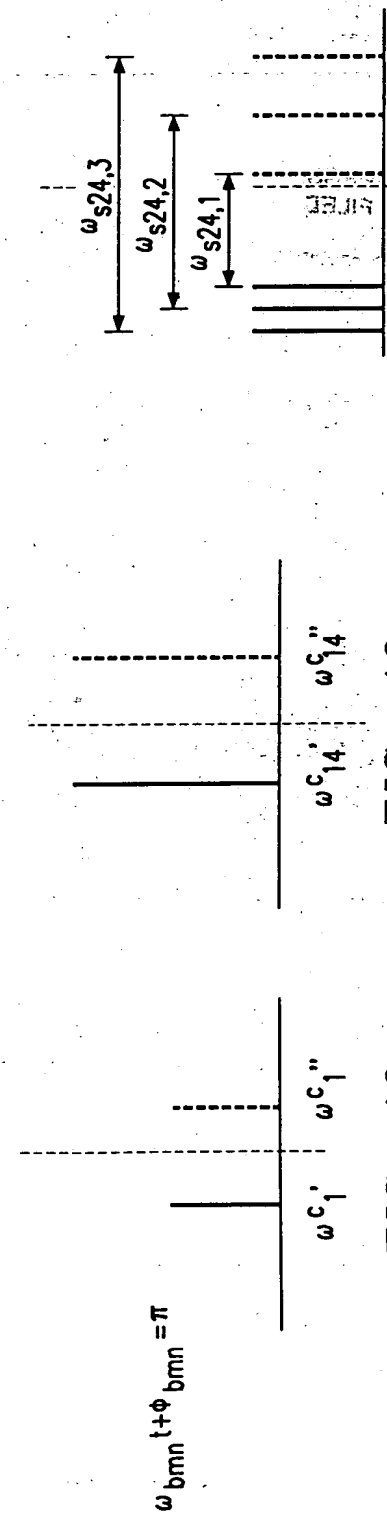


FIG. 40c

FIG. 40e

$$\omega_{bmn} = \omega_{m,n}^c - \omega_{m,n}^{c''} = \omega_{sm,n} + \omega_{dm,n} \cos(\omega_{m,n} t + \phi_{m,n})$$

FIG. 40g

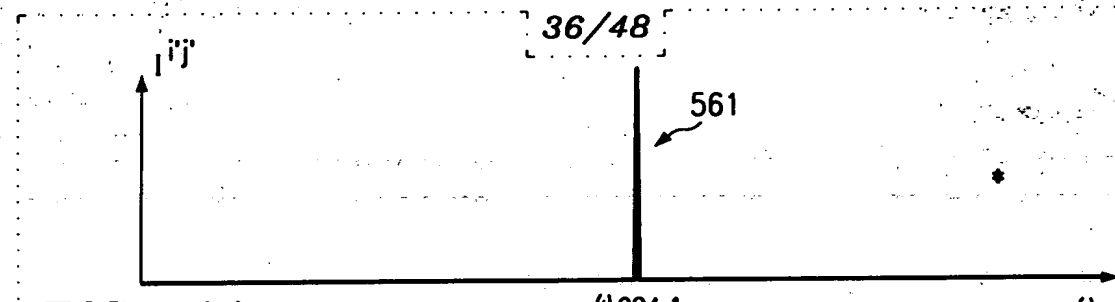


FIG. 41a

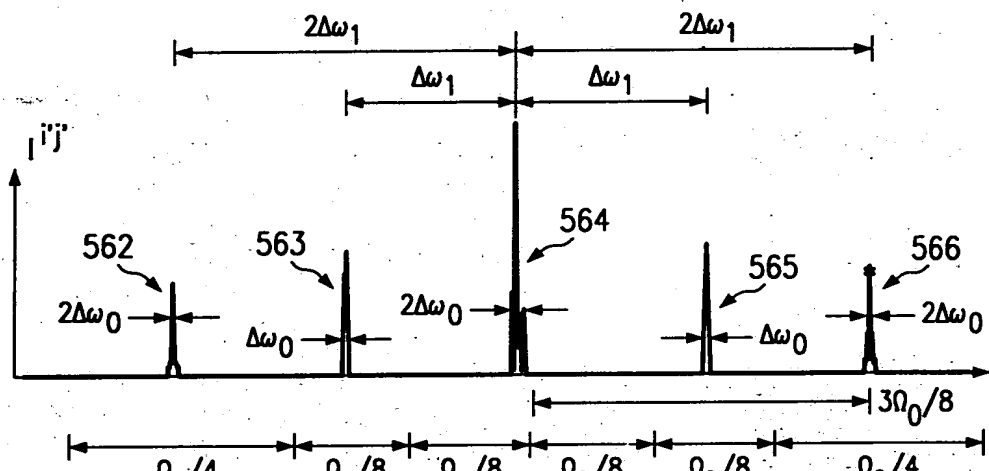


FIG. 41b

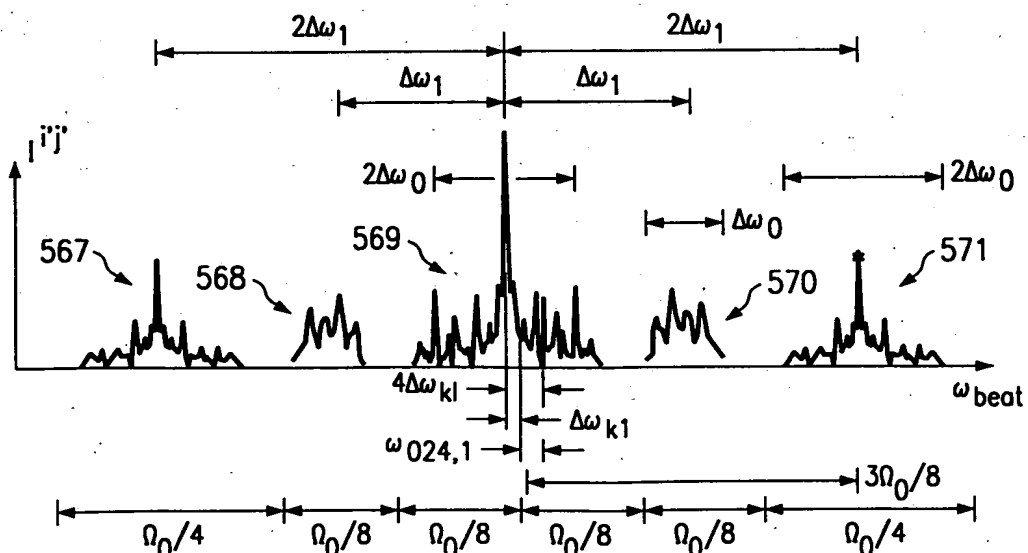


FIG. 41c

37/48

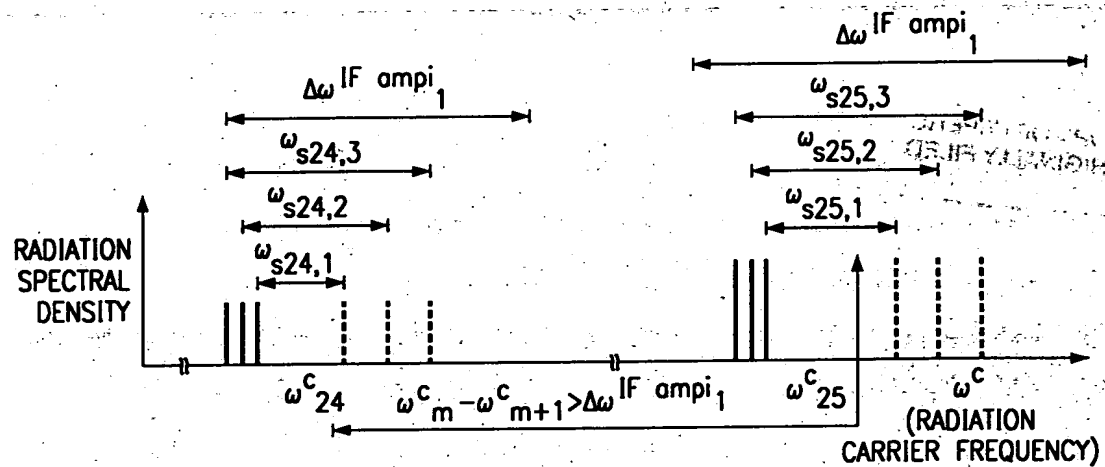


FIG. 42a

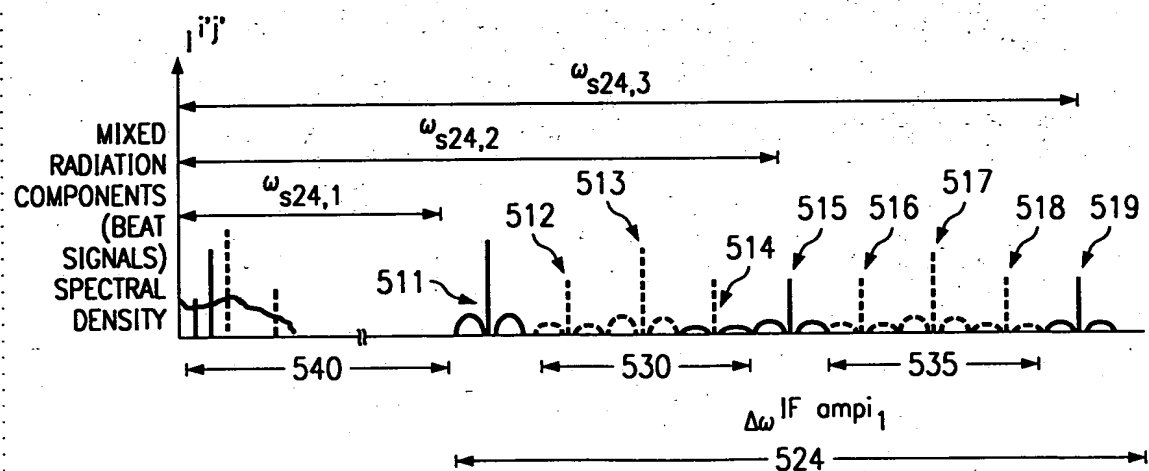
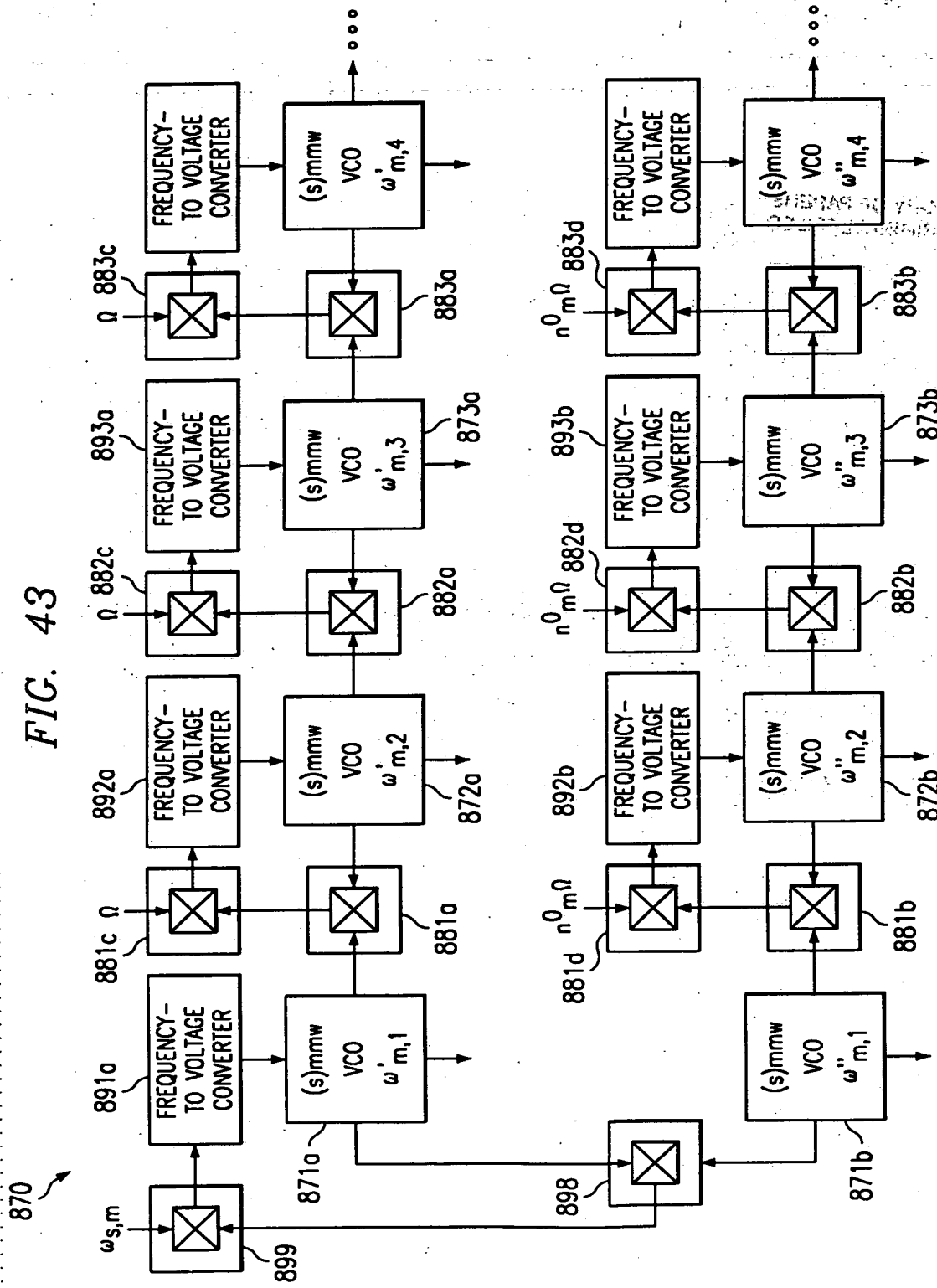


FIG. 42b

FIG. 43



39/48

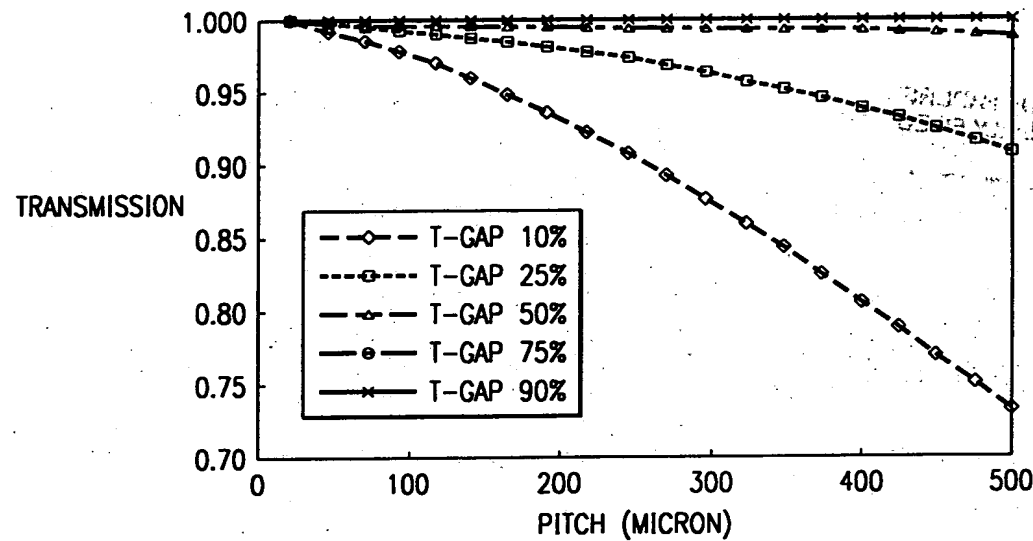


FIG. 45a

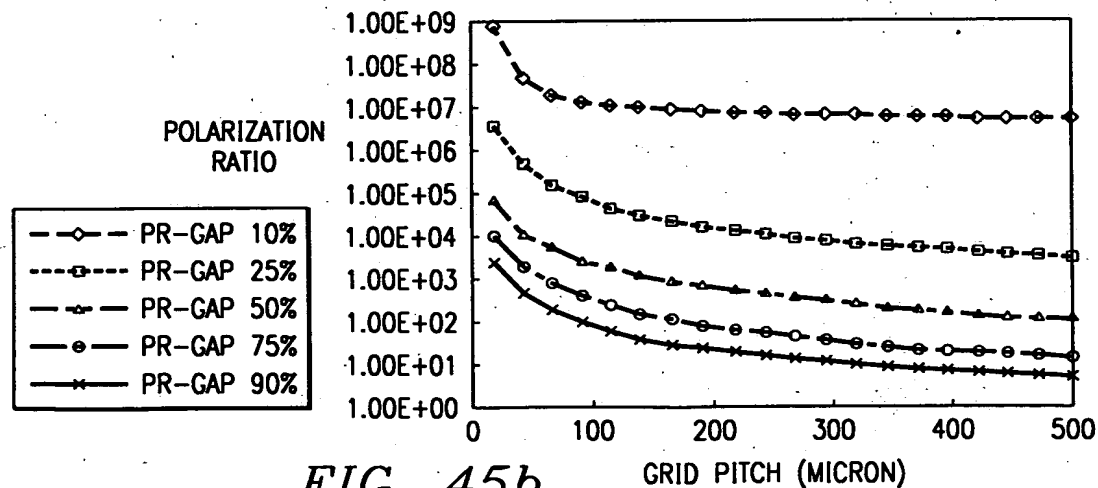


FIG. 45b

40/48

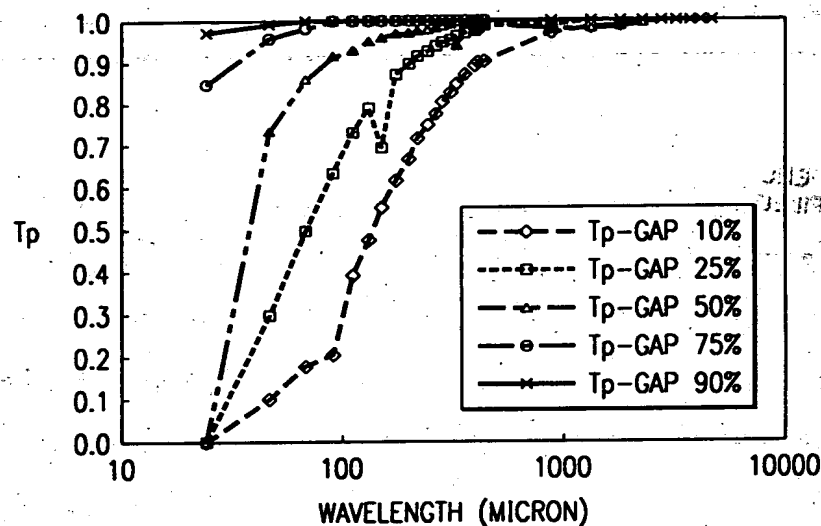


FIG. 46a

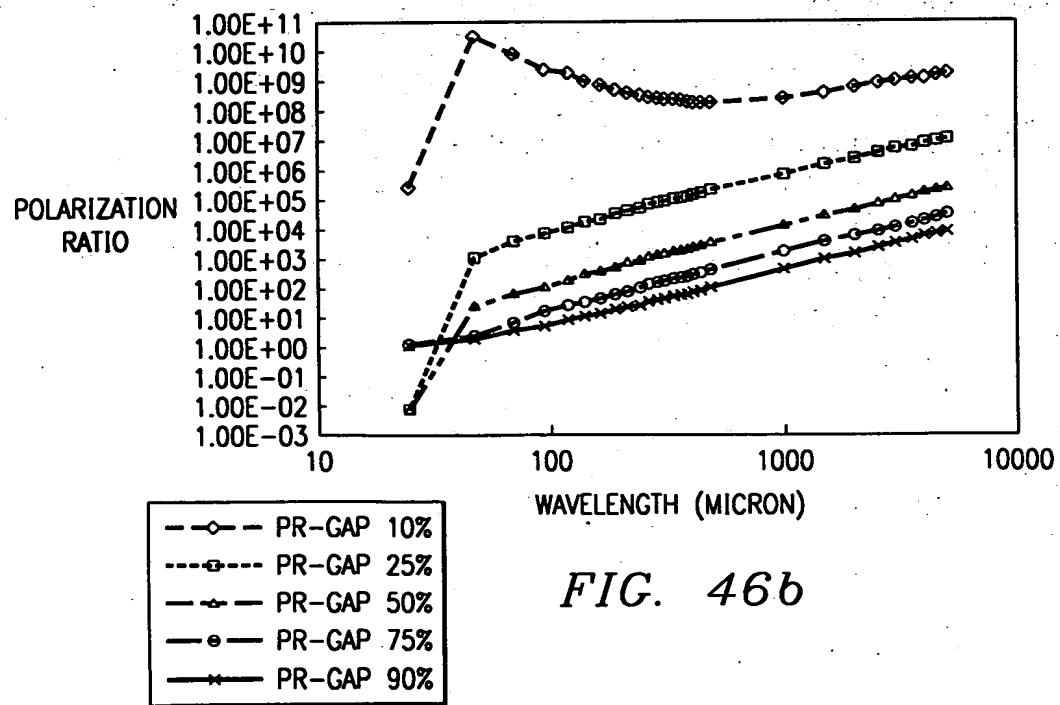


FIG. 46b

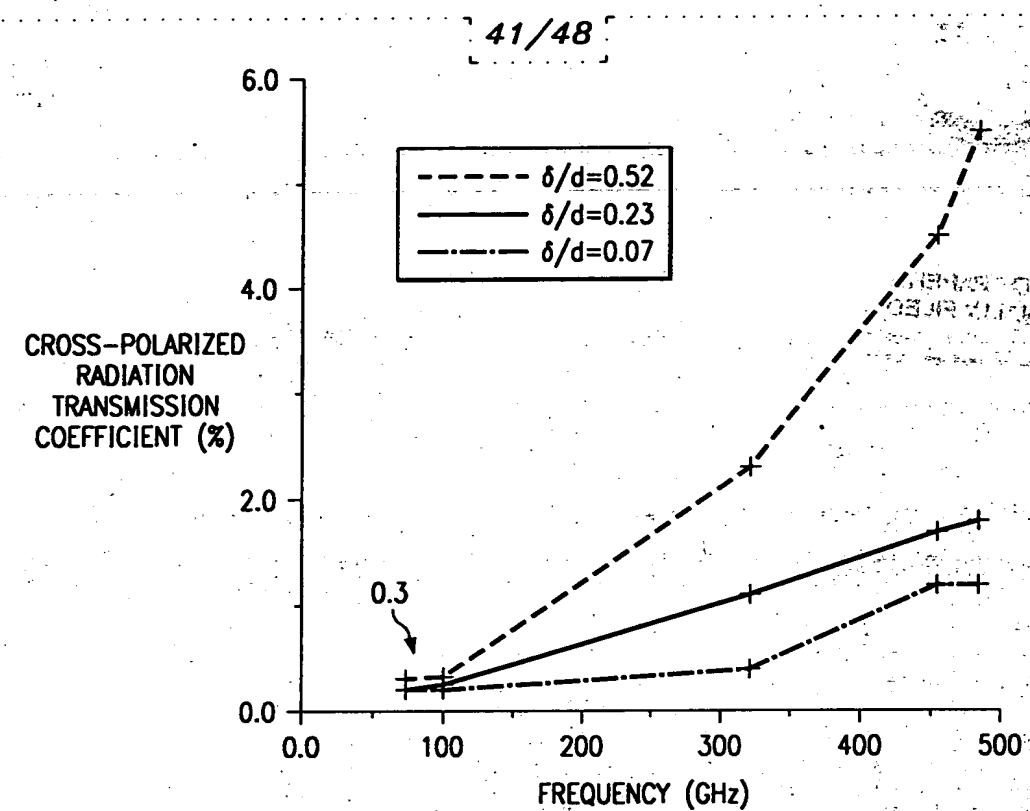
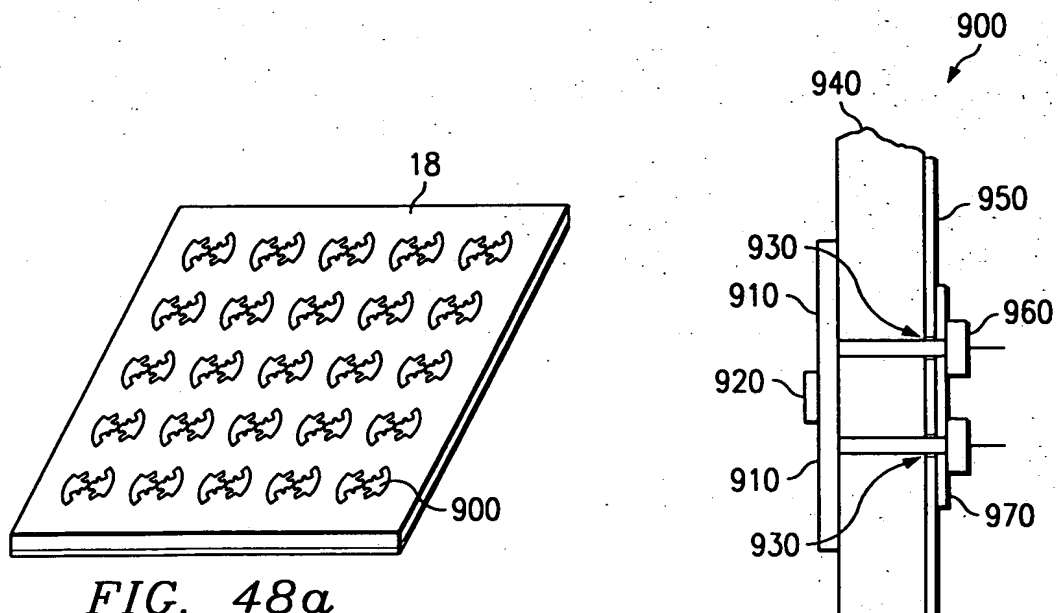


FIG. 47



42/48

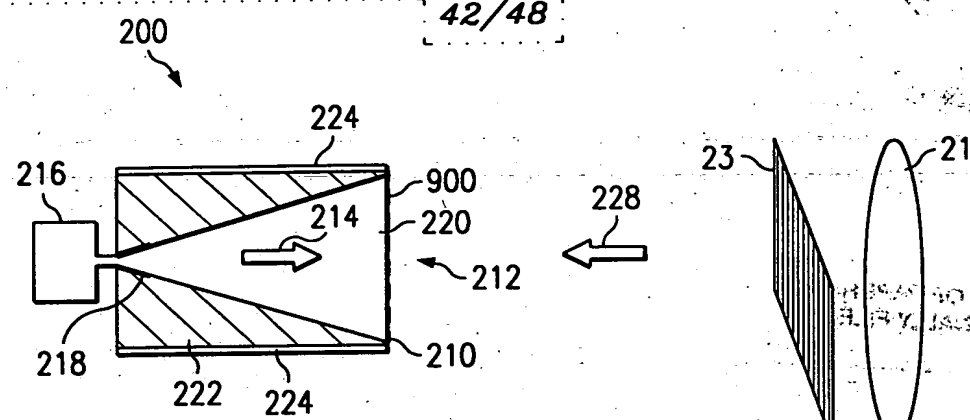


FIG. 49a

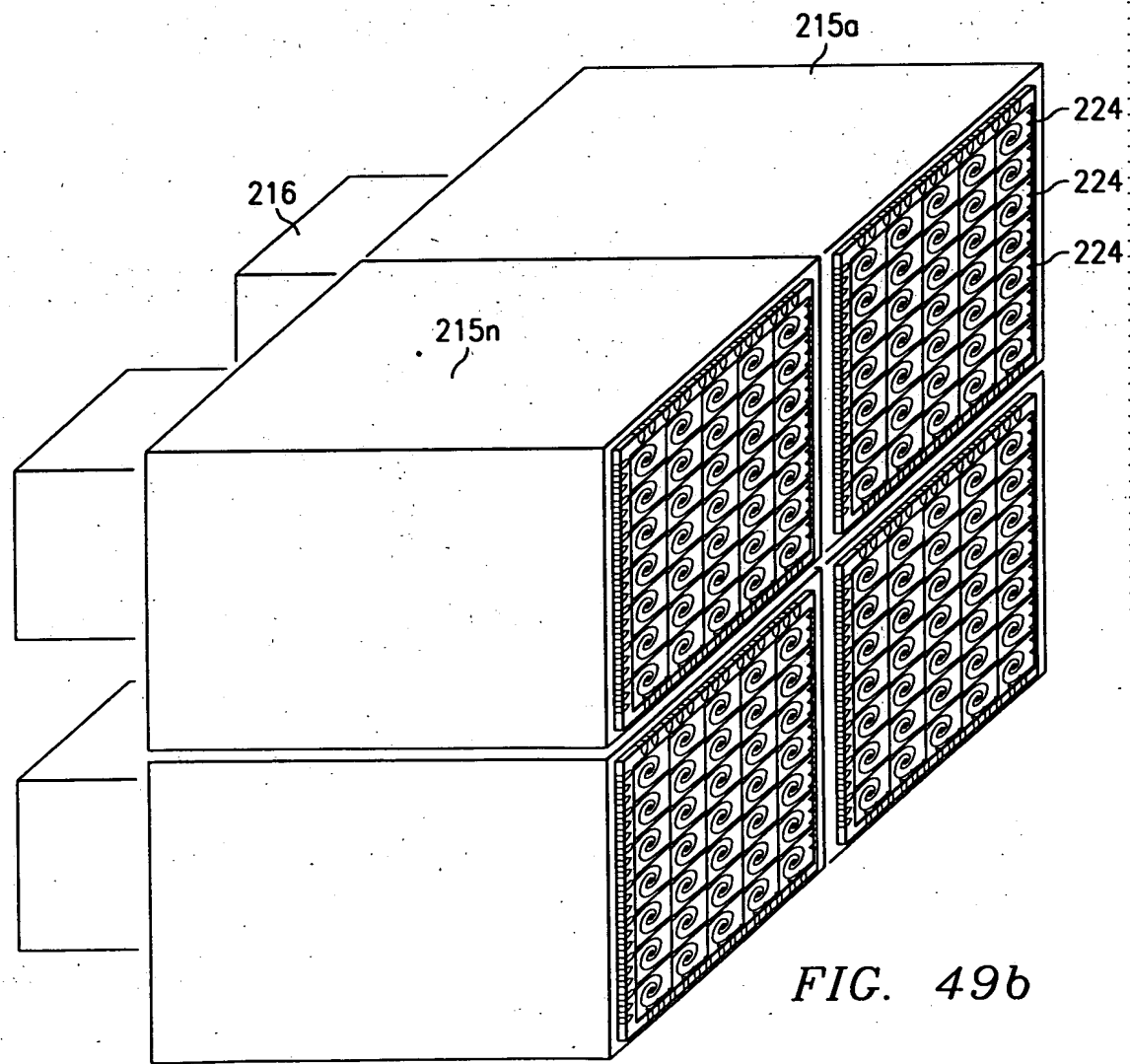
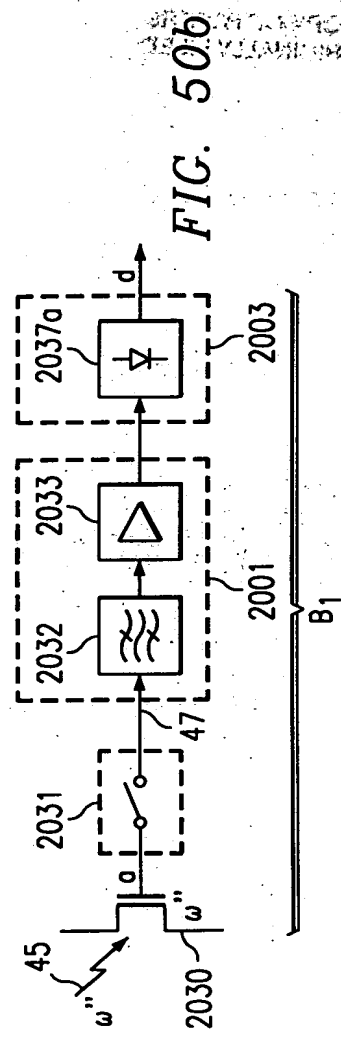
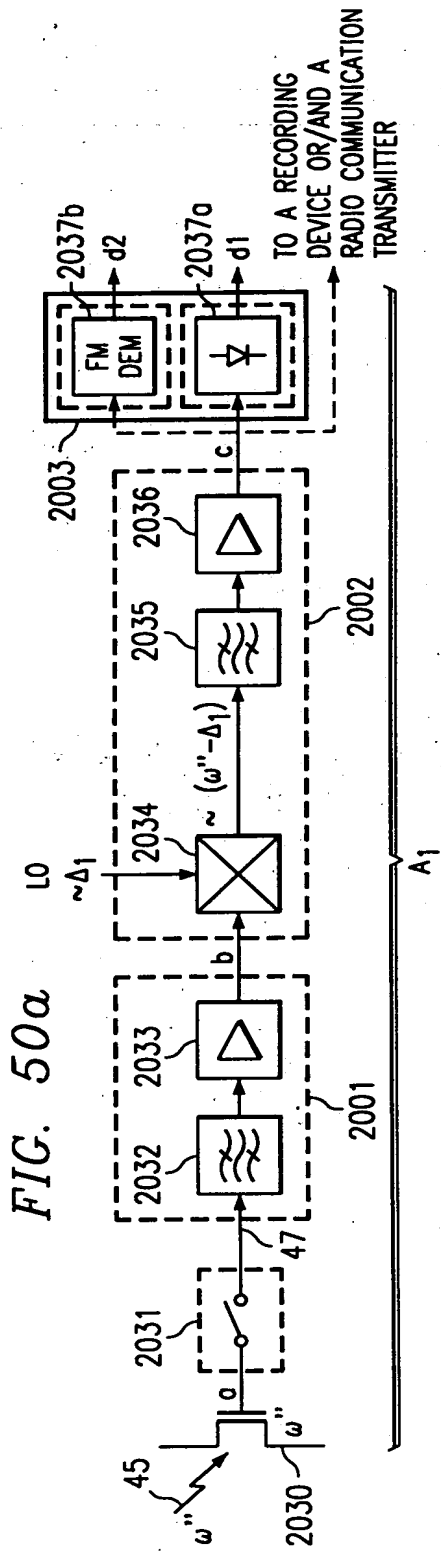
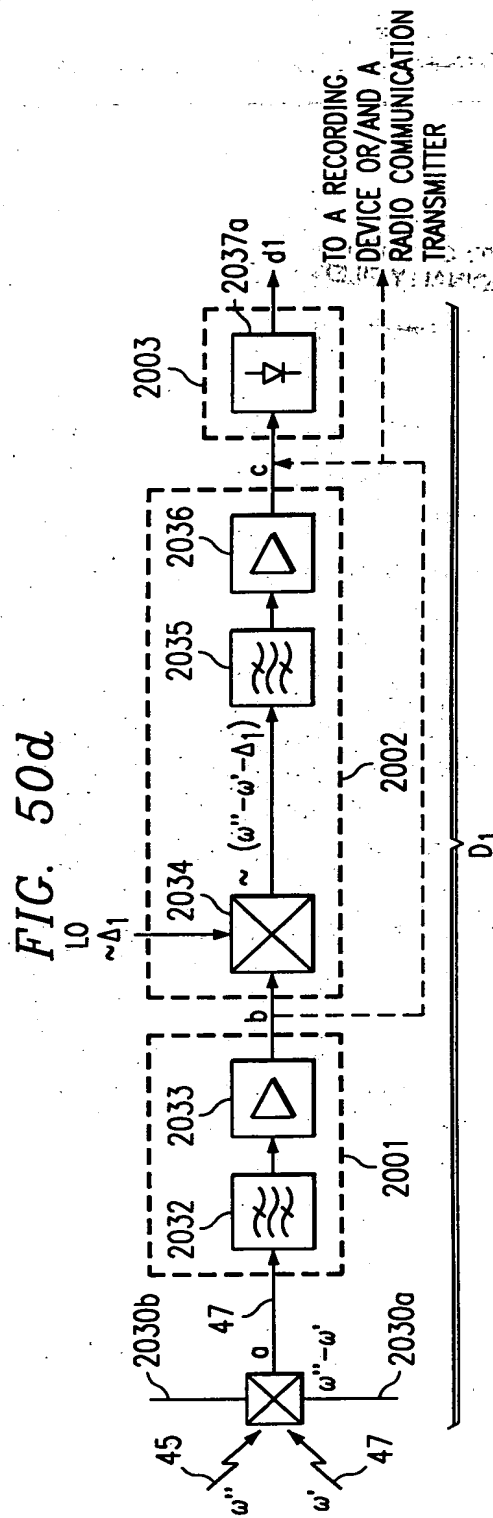
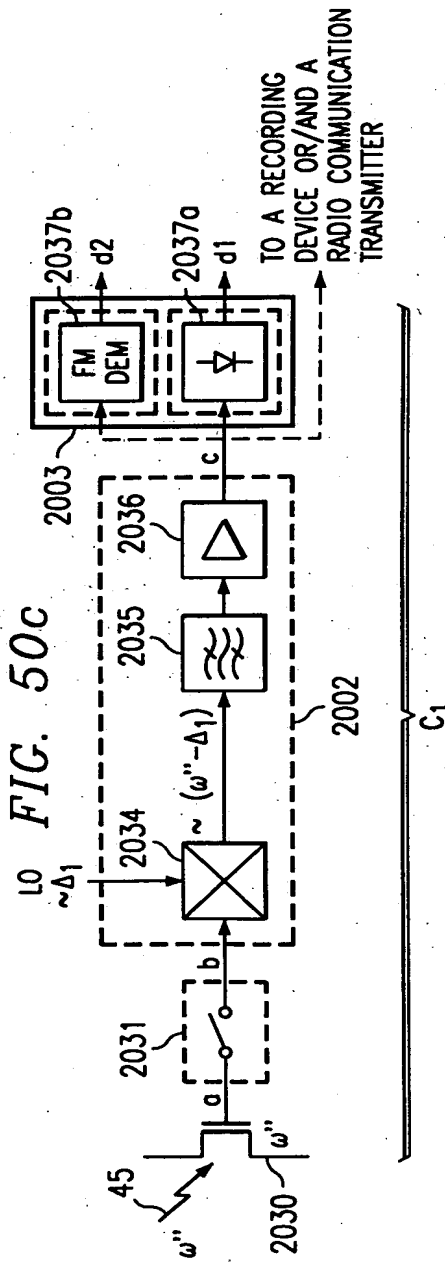


FIG. 49b





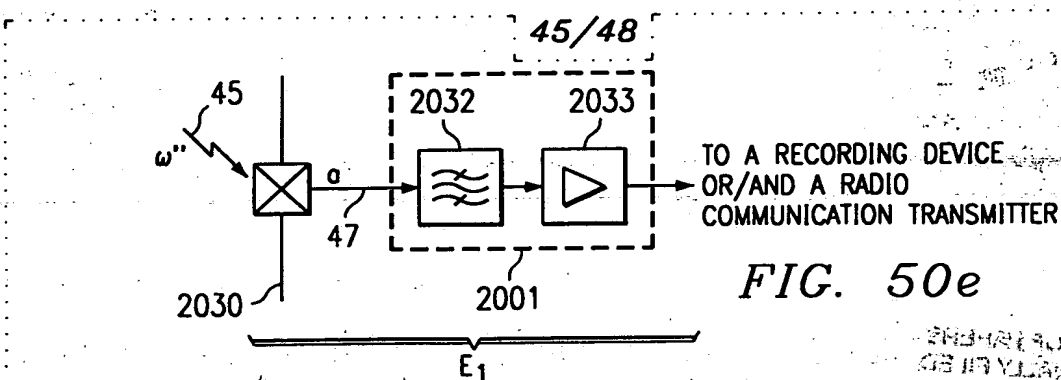


FIG. 50e

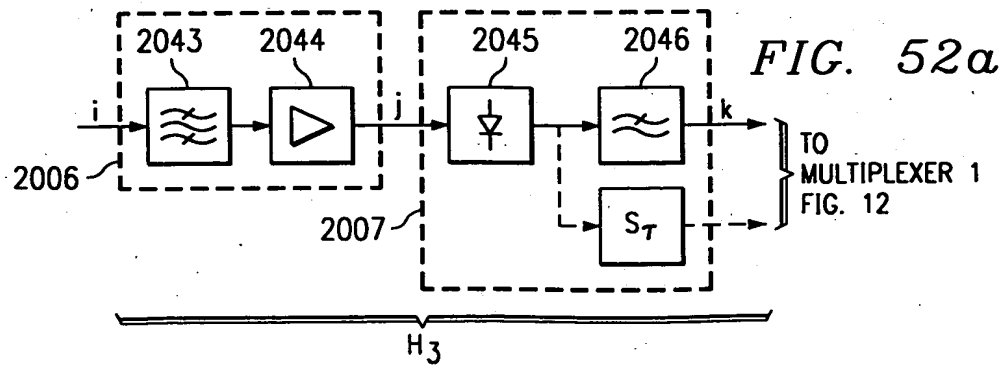
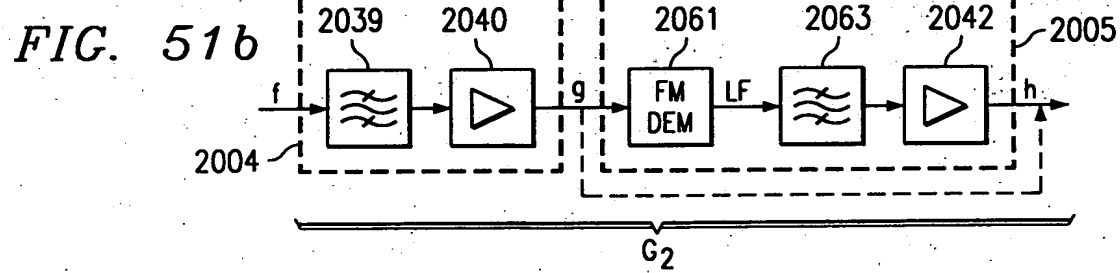
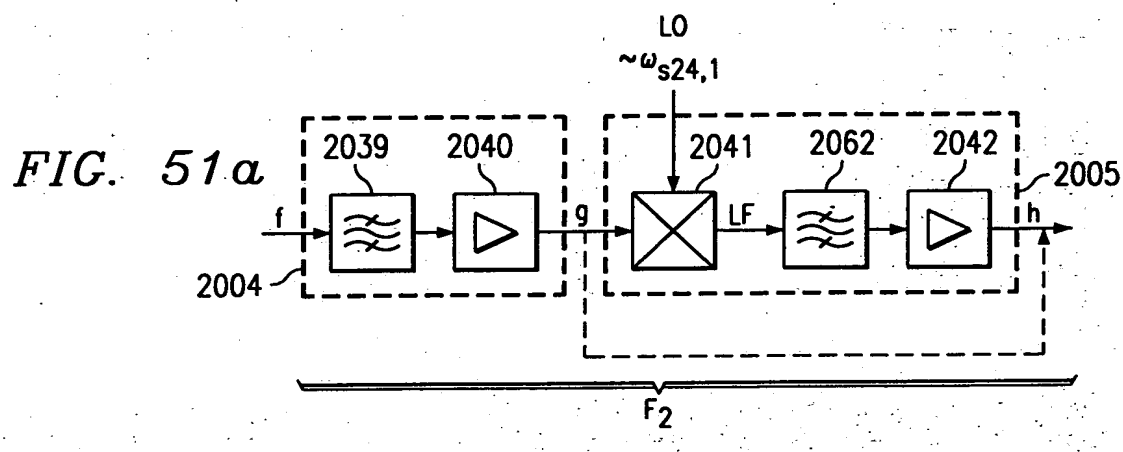


FIG. 52a

46/48

FIG. 52b

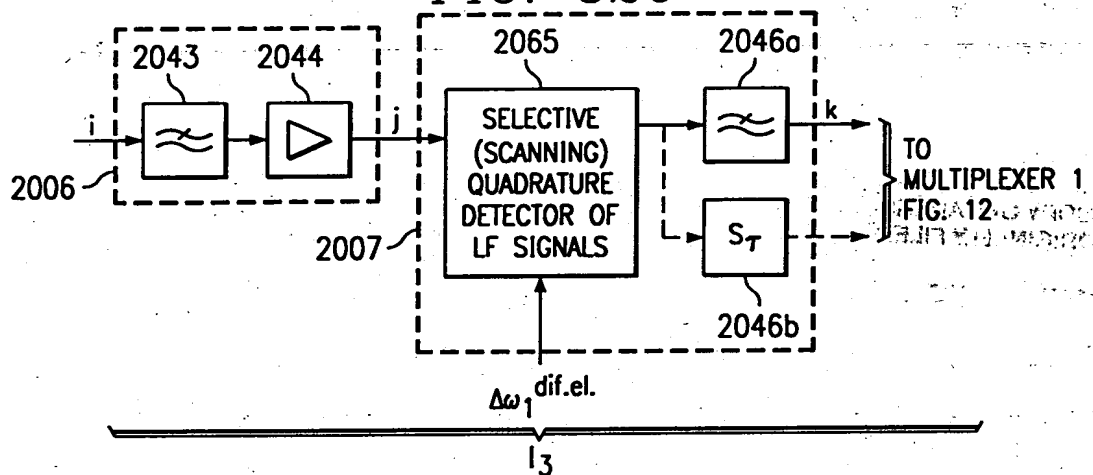


FIG. 52c

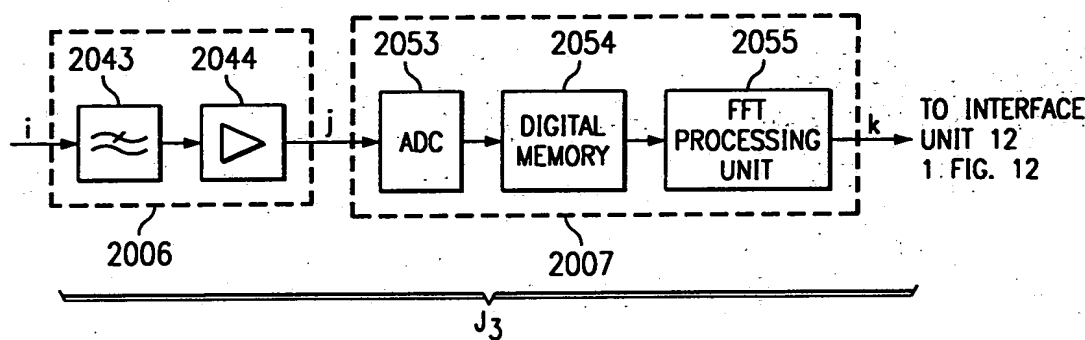


FIG. 53a

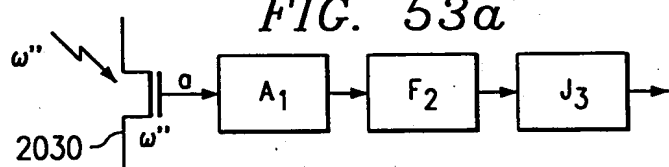
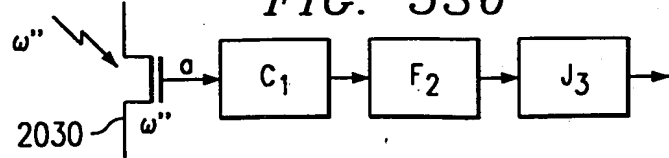
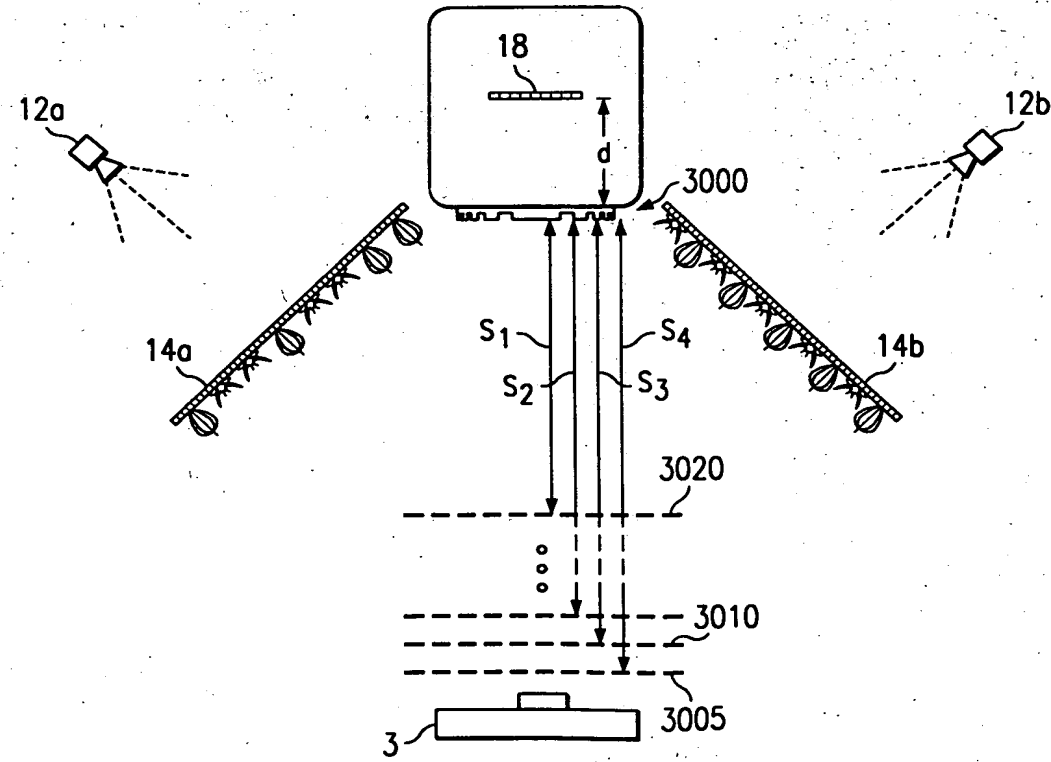
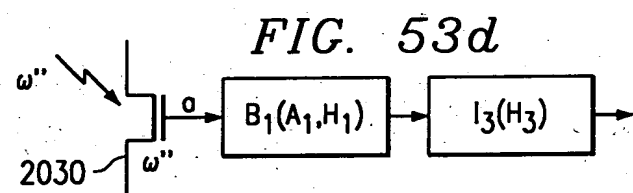
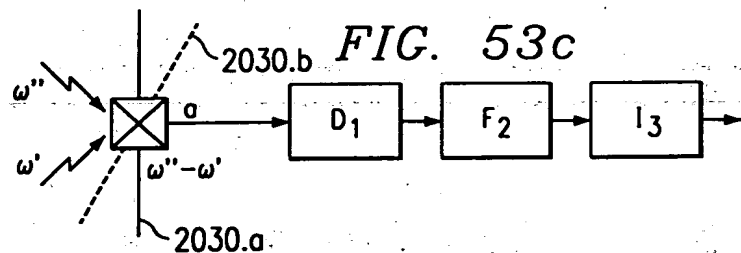


FIG. 53b



47/48

*FIG. 54*

48/48

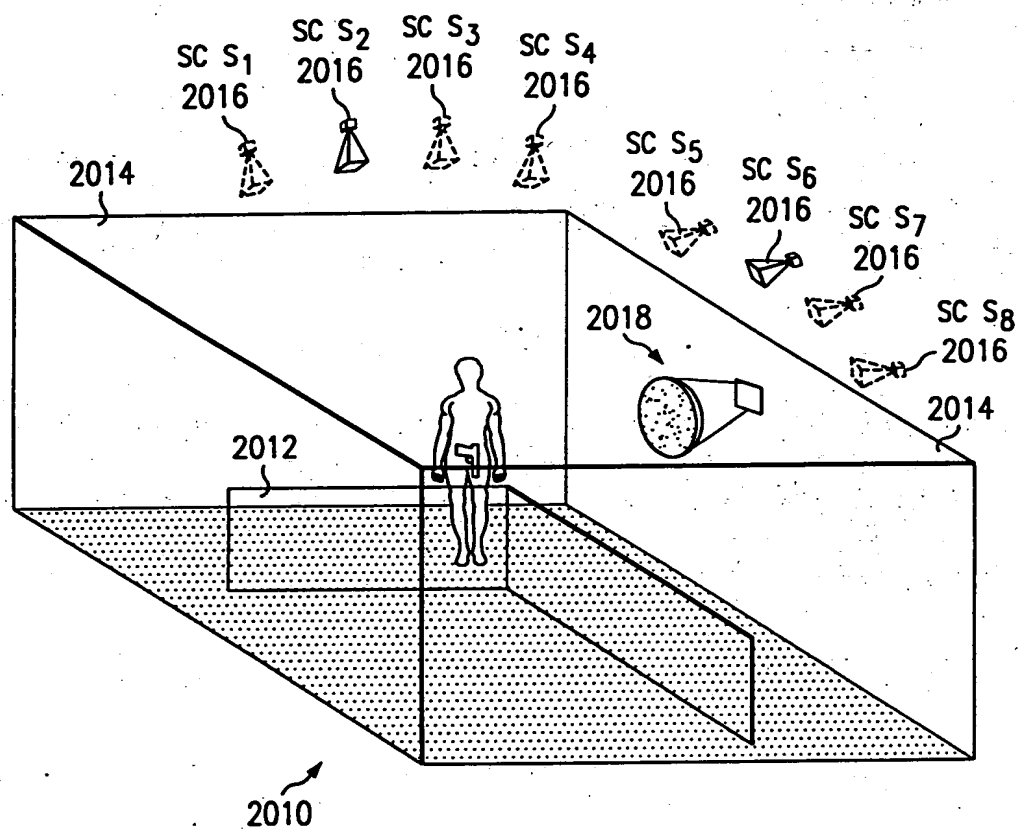


FIG. 55